

Přehledný referát

POLARIZAČNÍ JEDNOVIDOVÁ OPTICKÁ VLÁKNA

LADISLAV ŠAŠEK, VÁCLAV SOCHOR*

Ústav chemie skelných a keramických materiálů ČSAV, Lípová 5, 120 00 Praha 2

**ČVUT — FJFI Katedra fyzikální elektroniky, Břehová 7, Praha 1*

1. ÚVOD

Současné optické vláknové systémy kladou stále vyšší nároky na optické vlastnosti použitých vláken. Vývoj vláken směruje k dosažení menší disperze, menšího útlumu a k lepší schopnosti vést polarizované záření [1], [2], [3]. Jednovidová optická vlákna (JOV), jejichž výrobci se snaží splnit uvedené požadavky, se nazývají polarizační (PJOV); většinou jde o JOV zachovávající stav polarizace.

Polarizace světla má zásadní význam pro činnost vláknových interferenčních senzorů, protože nedefinovaný stav polarizace záření může vést ke snížení kontrastu, popř. ke ztrátě interferenčního obrazu [4]. Optické vláknové interferenční senzory umožňují měřit různé fyzikální veličiny na základě interference dvou vln šířících se buďto ve stejném směru (Machův-Zehnderův interferometr), nebo ve směrech opačných (Sagnacův interferometr). První typ se prakticky uplatňuje v senzorech teploty, tlaku, deformace, vibrací, zrychlení, elektrického a magnetického pole, zatímco druhý typ se uplatňuje především v optických vláknových gyroskopech při přesném měření i velmi malých rychlostí rotace a zrychlení.

Použití PJOV se dále rozvíjí v různých vláknových elementech, jako jsou polarizátory a depolarizátory záření, rotátory, optické izolátory, děliče a filtry. Použití těchto optických vláken se předpokládá i v nelineárních optických jevech, protože Ramanův a Brillouinův zisk vykazuje pro polarizované záření podstatně vyšší hodnoty [5].

Ukazuje se, že i v oblasti komunikace na optických kmitočtech je znalost polarizačních vlastností použitých vláken velmi důležitá, neboť polarizační disperze může omezovat šířku pásma při vysoké kapacitě přenosu informace [6]. Nabízejí se aplikace ve fázově koherentních a dvojsměrných přenosových systémech [7].

Z uvedeného přehledu použití PJOV vyplývá, že je nezbytné definovat charakteristiky popisující polarizační vlastnosti těchto vláken, navrhnout jejich optimální struktury tak, aby byly dosaženy parametry nezbytné pro realizaci optických vláknových systémů a navrhnout optimální technologii výroby. Dále je třeba navrhnout a realizovat metody měření základních charakteristik těchto vláken.

2. CHARAKTERISTIKY PJOV

V optických vláknech se záření šíří ve formě hybridních vidů $HE_{r\mu}$, $EH_{r\mu}$, které mají všech šest komponent elektromagnetického pole nenulových. V approximaci slabé vodivosti, které většina dnes vyráběných optických vláken dobré vyhovuje, mají dvojice vidů $HE_{r+1,\mu}$, $EH_{r-1,\mu}$ stejnou konstantu šíření. Superpozicí

těchto vidů vzniká lineárně polarizovaný vid (označovaný $LP_{\nu\mu}$), který má dvě přičné komponenty elektromagnetického pole nulové. Vzhledem k tomu, že se konstanty šíření odpovídajících vidů HE , EH mírně liší (jsou shodné jen v rámci zmíněné approximace), je pole vidu LP proměnné v podélné ose vlákna. V případě vidů $LP_{0\mu} = HE_{1\mu}$ nastává degenerace a světlovodem se šíří lineárně polarizované záření. Situace v jednovidových vláknech je tedy mnohem příznivější než v mnohovidových vláknech, zdaleka však není ideální [8].

2.1. Polarizace a dvojlom v optických vláknech

Předpokládáme, že pole vlastního vidu HE_{11} lze na délce vlákna dz vyjádřit lineární kombinací dvou vzájemně kolmých polí E_1 a E_2 , která mohou být lineárně nebo kruhově polarizována. Obecný tvar rovnic určujících vývoj amplitud $A_1(z)$ a $A_2(z)$ polí E_1 a E_2 ($E_k = A_k \exp[i(\omega t - \beta z)]$; $k = 1; 2$) po délce vlákna je dán rovnicemi vazby lokálních vidů:

$$dA_1/dz = (-i\beta + X_{11}) A_1 + X_{12} A_2, \quad (1a)$$

$$dA_2/dz = -X_{12}^* A_1 + (-i\beta + X_{22}) A_2, \quad (1b)$$

kde β je konstanta šíření vidů E_1 a E_2 v optickém vlákně bez poruchy, $\text{Re}(X_{11}) = \alpha_1$, $\text{Re}(X_{22}) = \alpha_2$ jsou koeficienty útlumu vidů, $\text{Im}(X_{11}) - \text{Im}(X_{22}) = \delta\beta$ je rozdíl konstant šíření vidů ve vlákně s poruchou a $X_{12} \equiv X$ je koeficient vazby vidů. Obecně jsou konstanty $\delta\beta$, X závislé na délce vlákna, ale pak rovnice (1) nemají obecné řešení. Jsou-li konstanty šíření polí E_1 a E_2 rozdílné ($\delta\beta \neq 0$), pak prostředí, ve kterém se pole šíří, označujeme za dvojlovné.

Dvojlom v optickém vlákně vzniká vždy, je-li porušena kruhová symetrie ideálního vlákna. Anizotropie může vznikat buď geometrickou deformací jádra, nebo vlivem změny indexu lomu jádra, způsobených elastooptickým, elektrooptickým či magnetooptickým jevem. Dvojlom může být do vlákna zaveden buď při výrobě, nebo působením okolního prostředí. Podle druhu polarizace vidů E_1 a E_2 lze rozdělit dvojlom na lineární (při lineární polarizaci) a kruhový (při kruhové polarizaci). Lineární a kruhový dvojlom jsou zvláštní případy eliptického dvojlonu.

Polarizaci v optických vláknech lze charakterizovat jejím stupněm a stavem.

Stupeň polarizace Q udává, jak kvalitně je záření polarizováno. V daném místě, při konstantních podmínkách okolního prostředí, a volbě $I_x = I_{\max}$ je stupeň polarizace dán vztahem:

$$Q = (I_x - I_y)/(I_x + I_y), \quad (2)$$

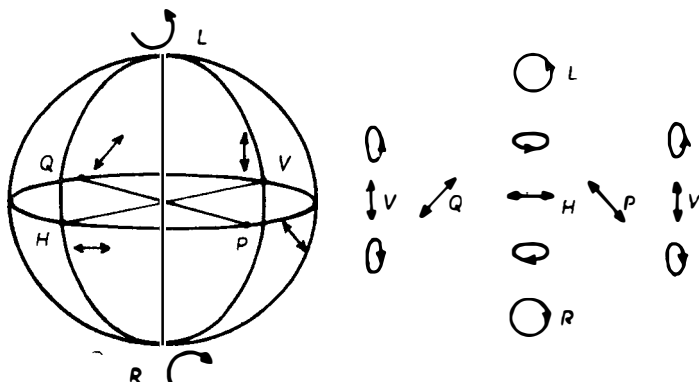
kde I_x a I_y jsou intenzity záření v ortogonálních směrech. Pro nepolarizované záření je $Q = 0$, zatímco u ideálně polarizovaného záření je $Q = 1$. Je vidět, že stupeň polarizace má význam pravděpodobnosti, se kterou se vektor intenzity elektrického pole bude nacházet v určitém směru. Dále budeme uvažovat pouze případ ideálně polarizovaného záření.

Stav polarizace charakterizuje způsob, jakým se koncový bod vektoru intenzity elektrického pole pohybuje v rovině vlnového čela. Stav polarizace je obecně eliptický a může přecházet od lineárního (vektor zůstává v rovině rovnoběžné se směrem šíření), až po kruhový (koncový bod vektoru opisuje šroubovici) [13].

Pokud má JOV ideálně kruhové jádro a nepůsobí na něj žádné vnější vlivy, mohou v něm být vybuzeny dvě degenerované vzájemně kolmé (ortogo-

nální) polarizace základního vidu HE_{11} [HE_{11}^x a HE_{11}^y], jejichž konstanty šíření jsou stejné ($\beta_1 = \beta_2$). Takové JOV nevykazuje dvojstrom a zachovává stupeň i stav polarizace po celé délce vlákna. Kromě tohoto ideálního případu, existuje v každém běžném JOV najednou několik druhů dvojstromu, jejichž působením dochází k tomu, že se stav polarizace po délce vlákna postupně mění. Obecně mohou v optickém vlákně existovat dvojstromy, u nichž nelze zjistit druh, intenzitu ani rozložení podél vlákna, což může vést k tomu, že stav polarizace podél vlákna i na jeho výstupu může být nestabilní a nedefinovatelný [3]. Možnosti pasivní stabilizace a kontroly stavu polarizace budou uvedeny dále.

K hodnocení vývoje stavu polarizace, i při kombinaci několika dvojstromů, je vhodné použít Poincareovu kouli [2] (obr. 1).



Obr. 1. Poincareova koule.

Na povrchu Poincareovy koule jsou bod po bodu zmapovány všechny možné stavy polarizace. Kruhové stavy polarizace jsou na pólech koule, zatímco lineární stavy polarizace jsou na rovníku. Lineární dvojstrom způsobuje otočení bodu počátečního stavu polarizace kolem rovníkové osy (spojující bodu V a H), ježíž orientace je shodná s osami lineárního dvojstromu, o úhel daný fázovým zpožděním R (28). Naproti tomu kruhový dvojstrom je reprezentován otočením bodu, znázorňujícího počáteční stav polarizace, okolo vertikální osy (spojující bodu L a R) o úhel daný rotací polarizace Ω (29). Kombinaci několika dvojstromů, v případě eliptického dvojstromu, tak lze nahradit součtem několika rotačních vektorů.

Z teoretického modelu optického vlákna s dvojstromem vyplývají dva poznatky:

1. Je-li do JOV zavedeno ideálně monochromatické záření (s rulovou šírkou čáry), pak při průchodu vláknem dochází k jeho depolarizaci, tzn., že stupeň polarizace záření zůstává zachován.

2. V JOV vždy existují dva lineárně polarizované vstupní stavy, které vedou k ortogonálním lineárně polarizovaným výstupním stavům (pro monochromatické záření). Směry, které jsou shodné s těmito stavy lineární polarizace, definují optické osy ve vlákně. Tyto stavy polarizace jsou závislé na podmínkách okolního prostředí a na vlnové délce (kromě případu čistě lineárního dvojstromu) a nelze je zaměňovat s vlastními stavy polarizace, které mají význam stavu polarizace složek pole E_1 a E_2 (vlastních vidů), ve vlákně s daným typem dvojstromu. Vlastní stavy polarizace u optických vláken s lineárními, popř. kruhovými, dvojstromy, jsou lineární (body V a H na obr. 1), popř. kruhové (body L a R), a zůstávají

zachovány nezávisle na délce vlákna. Je-li do vlákna zaveden vlastní stav polarizace, pak dojde k vybuzení jediného vlastního vidu s daným stavem polarizace. Při zavedení jiného stavu polarizace než vlastního, dojde vždy k vybuzení obou vlastních vidů, přičemž vždy existuje vazba mezi těmito vidy (viz kap. 2.7). Pro obecně eliptický dvojlon jsou stavy polarizace vlastních vidů eliptické a rotující ve stočené soustavě souřadnic.

2.2. Lineární dvojlon

V JOV s tvarovou nebo napěťovou anizotropií, kdy otočením struktury vlákna kolcm podélné osy o 180° dostáváme výchozí strukturu (obr. 5 a 6), se šíří dva ortogonální lineárně polarizované vidy, jejichž osy se shodují s osami symetrie optického vlákna. Je-li vlákno po délce homogenní a nestočené, pak se tyto vidy šíří bez změny s rozdílem konstant šíření $\delta\beta = \beta_1 - \beta_2$. Polarizační vlastnosti vlákna mohou být modelovány diskrétním lineárně dvojlonovým prvkem, jehož fázové zpoždění R je lineárně závislé na délce vlákna L :

$$R = \delta\beta L. \quad (3)$$

Pak lze definovat lineární dvojlon B a záznějovou délku L_B , se kterou se stav polarizace periodicky opakuje po délce vlákna:

$$B = \delta\beta/k_0 = \lambda\delta\beta/2\pi = \delta n, \quad (4)$$

$$L_B = 2\pi/\delta\beta = \lambda/B, \quad (5)$$

kde λ je vlnová délka záření ve vakuu, δn je rozdíl efektivního indexu lomu obou vidů a k_0 je vlnové číslo ($k_0 = 2\pi/\lambda$).

Citlivost stavu polarizace na působení vnějších vlivů závisí na hodnotě dvojlonu B . Proto lze PJOV rozdělit na JOV s vysokým ($B \geq 10^{-5}$), středním ($10^{-7} \leq B \leq 10^{-7}$) a malým ($B \leq 10^{-5}$) dvojlonem [9].

Podstata zachování lineární polarizace záření v JOV spočívá ve vytvoření vysokého a po délce vlákna homogenního vnitřního dvojlonu, který musí být větší, než je dvojlon způsobený vnějšími poruchami. Tímto způsobem se sníží velikost mezividové vazby, čímž se zmenší i pravděpodobnost přenosu energie z vybuzeného do ortogonálního vidu. Z teorie mezividové vazby je známo, že maximální přenos energie mezi vidy nastává, shoduje-li se perioda vnějších poruch se záznějovou délkou L_B [10].

Vzhledem k tomu, že prostorová perioda poruch JOV obvykle bývá $L_p \geq 1$ mm, je pro zachování lineární polarizace nutné, aby záznějová délka L_B byla řádově desetiny milimetru. Pro vlnovou délku $\lambda \approx 1 \mu\text{m}$ pak vycházejí požadované hodnoty dvojlonu $B \geq 10^{-3}$. Dosažení tak vysokého dvojlonu je možné zavedením silné tvarové nebo napěťové anizotropie do oblasti jádra JOV.

Na vývoj polarizačního stavu záření ve vlákně mají vliv vnitřní i vnější faktory [8]. Vnitřní faktory jsou dány technologií výroby, jsou pro dané vlákno charakteristické a s časem se většinou nemění. Vzniklý vnitřní dvojlon je způsoben tvarovou nebo materiálovou anizotropií zabudovanou do vlákna zámrně či nikoliv. Výsledný vnitřní dvojlon lze vyjádřit vztahem

$$B = B_G + B_{S0} + B_S, \quad (6)$$

kde B_G je tvarový dvojlon, vyvolaný geometrickou anizotropií profilu indexu lomu jádra, B_{S0} , resp., B_S , je napěťový dvojlon, vyvolaný rozdílem koeficientu

tepelné roztažnosti jádro — obal, popř. napěťový prvek — obal. Tyto příspěvky mohou mít shodná nebo opačná znaménka, a mohou se tedy navzájem sčítat nebo eliminovat [11].

Z vnějších faktorů, vyvolávajících indukovaný dvojlom, je nejběžnější působení vnějších sil, zavádějících do vlákna napětí, vliv teploty okolí a elektromagnetické pole. Jakmile je vlákno vyrobeno, je téměř nemožné modifikovat působením vnějších sil jeho tvar, protože Youngův modul pružnosti křemene je velmi vysoký. Vzhledem k fotoelastickému efektu však působení vnějších sil způsobuje indukovaný dvojlom. Uvedené vztahy pro výpočet indukovaného dvojlamu jsou approximace platné pro hodnoty normalizované frekvence $V \geq 1,5$ [1].

2.2.1. Tvarový lineární dvojlom

Tvarový (geometrický) dvojlom je dán geometrickou anizotropií profilu indexu lomu v celém průřezu vlákna, přičemž struktura musí zachovávat symetrii vzhledem ke dvěma ortogonálním osám. Nejjednodušší strukturou poskytující tvarový lineární dvojlom je eliptické jádro. Jednoduché analytické řešení existuje pouze pro případ malé ellipticity jádra. Tvarový dvojlom pak lze vyjádřit ve tvaru

$$B_G = n_e \Delta n^2 e f(V), \quad (7)$$

kde n_e je efektivní index lomu ($n_e k_0 = \beta$), Δn je relativní rozdíl indexu lomu jádra a obalu, $f(V)$ označuje funkci normalizované frekvence V a e je ellipticitá jádra definovaná:

$$e = 1 - b/a, \quad (8)$$

kde a , b jsou hlavní a vedlejší poloosa elipsy.

Normalizovaná frekvence V je dána vztahem

$$V = a_s k_0 n_1^2 (2\Delta n)^{1/2}, \quad (9)$$

kde $a_s = (a + b)/2$ je střední hodnota poloměru jádra, n_1 je index lomu jádra a k_0 je vlnové číslo.

2.2.2. Materiálový lineární dvojlom

Protože materiály použité k výrobě optických vláken mají rozdílné koeficienty teplotní roztažnosti, dochází v procesu chlazení vlákna (či preformy) ke vzniku anizotropních napětí, která vzhledem k fotoelastickému efektu způsobují dvojlam. Materiálový (napěťový) dvojlom je dán vztahem:

$$B_S = -C(\sigma_x - \sigma_y), \quad (10)$$

kde $C = (C_{11} - C_{12})$, C_{11} a C_{12} jsou elastooptické koeficienty (pro křemen: $C_{11} = 0,742 \cdot 10^{-12} \text{ Pa}^{-1}$, $C_{12} = 4,104 \cdot 10^{-12} \text{ Pa}^{-1}$, $C = -3,36 \cdot 10^{-12} \text{ Pa}^{-1}$), σ_x a σ_y jsou složky tenzoru napětí v příslušných směrech. Absolutní hodnota rozdílu napětí může dosáhnout maximální hodnoty (v bodech nespojitosti koeficientu teplotní roztažnosti):

$$|\sigma_x - \sigma_y|_{\max} = |E(s_1 - s_2)(T_0 - T_d)/(1 - \nu)|, \quad (11)$$

kde E je Youngův modul pružnosti a ν je Poissonův poměr (pro křemen: $E =$

$= 78,3 \text{ GPa}$, $\nu = 0,186$), s_1 a s_2 jsou koeficienty teplotní roztažnosti jádra a obalu, T_0 je pokojová teplota a T_d je teplota měknutí skla.

Dosazením z rovnice (11) do rovnice (10) lze pro maximální hodnotu rozdílu napětí definovat maximální napěťový dvojlon B_{Sm} , který můžeme chápat jako materiálovou konstantu daného vlákna. Absolutní hodnota jednotlivých složek tenzoru napětí σ_x a σ_y může být maximálně polovina hodnoty dané rovnicí (11).

Maximální hodnota napěťového dvojlonu je omezena pevností daného materiálu. Deformaci vlákna lze vyjádřit výrazem $|(s_2 - s_1)(T_0 - T_d)|$, jehož hodnota by neměla překročit 2 % (při laboratorních experimentech), popř. 0,4 % (pro systémy s vysokou spolehlivostí). Odpovídající limitní hodnoty napěťového lineárního dvojlonu jsou $6,5 \cdot 10^{-3}$, popř. $1,3 \cdot 10^{-3}$. Při vlnové délce záření $\lambda = 1 \mu\text{m}$ vyhází záznějová délka 0,15 mm, popř. 0,77 mm.

Ve vlákně s kruhovým jádrem uvnitř elliptického napěťového obalu ($B_G = B_{S0} = 0$, viz obr. 6a), lze napěťový dvojlon vyjádřit vztahem

$$B_S = eB_{Sm}, \quad (12)$$

kde e udává ellipticitu obalu. Pro obecný tvar napěťových prvků je výpočet dvojlonu značně komplikovanější [1].

Bude-li u vlákna s elliptickým jádrem (obr. 5a) mít jádro a obal též rozdílné koeficienty teplotní roztažnosti, pak v jádře vznikne kromě tvarového též napěťový dvojlon:

$$B_{S0} = w^2 e B_{Sm} / V^2, \quad (13)$$

kde $w = ak_0(n_e^2 - n_2^2)^{1/2}$, V je normalizovaná frekvence, n_e je efektivní index lomu, a je střední hodnota poloměru jádra a B_{Sm} je maximální hodnota napěťového dvojlonu.

Pro jednosložková skla (s jediným typem dopantu) platí pro koeficient teplotní roztažnosti následující vztah:

$$s_{(d)} = c_d s_d + s_0(1 - c_d), \quad (14)$$

kde c_d je molární zlomek dopantu d , s_d a s_0 jsou koeficienty teplotní roztažnosti dopantu a křemene. Obvyklé hodnoty jsou [2]:

křemenné sklo	$s_0 = 5 \cdot 10^{-7} \text{ } ^\circ\text{C}^{-1}$
GeO_2	$s_d = 7 \cdot 10^{-6} \text{ } ^\circ\text{C}^{-1}$
B_2O_3	$s_d = 1 \cdot 10^{-5} \text{ } ^\circ\text{C}^{-1}$
P_2O_5	$s_d = 1,4 \cdot 10^{-5} \text{ } ^\circ\text{C}^{-1}$

U jednosložkových skel lze vyjádřit lineární závislost mezi indexem lomu a koeficientem teplotní roztažnosti. Pro vícesložková skla však je situace podstatně složitější.

2.2.3. Ohyb

Bude-li JOV o poloměru r (bez vnitřního dvojlonu) ohnuto na válcí s poloměrem $R \gg r$, vznikne v něm při orientaci os podle obr. 2 (rychlá osa leží v rovině ohybu) lineární dvojlon [2]:

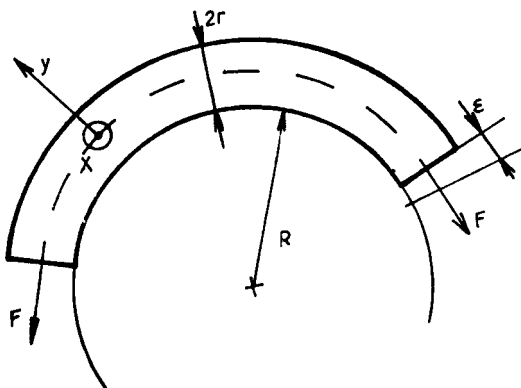
$$B_B = ECr^2/(2R^2) = -0,13(r/R)^2. \quad (15)$$

Uvedená hodnota platí pro vlákno z vysoce křemičitého skla.

Maximální dvojlam, který takto může být vyvolán, je omezen pevností vlákna v tahu. Deformace na vnějším povrchu vlákna je dána poměrem r/R a neměla by převyšit hodnotu 2 % (pro laboratorní experimenty), popř. 0,4 % (pro systémy s vysokou spolehlivostí). Odpovídající limitní hodnoty $|B_B|$ jsou $5,2 \cdot 10^{-5}$, popř. $1,9 \cdot 10^{-6}$. Při průměru vlákna $2r = 125 \mu\text{m}$ vychází minimální poloměr ohybu $R_{\min} = 3,1 \text{ mm}$ a $15,6 \text{ mm}$.

2.2.4. Ohyb při tahovém namáhání

Při tahovém namáhání rovného vlákna sice dojde ke změně napětí v příčném směru, avšak vzhledem k symetrii ($\delta\sigma_x = \delta\sigma_y$) zůstává rozdíl $\sigma_x - \sigma_y$ konstantní, a proto se dvojlam nemění. Toto platí za předpokladu izotropního Poissonova poměru okolo jádra. Je-li poměr anizotropní, dochází při tahovém namáhání i ke změnám hodnoty lineárního dvojlamu [12].



Obr. 2. Ohyb vlákna na cívce.

Budeme-li při navíjení na cívku napínat vlákno v tahu silou F (obr. 2), dostaneme další složku dvojlamu:

$$B_F = CF(2 - 3\nu)/[\pi rR(1 - \nu)], \quad (16)$$

takže celkový dvojlam je pro vlákno z vysoce křemičitého skla dán vztahem

$$B_{BF} = -0,13(r/R)^2 - 0,47\varepsilon r/R, \quad (17)$$

kde relativní prodloužení $\varepsilon = \delta l/l$. Tímto způsobem lze dosáhnout maximální hodnoty dvojlamu až o 25 % vyšší, než v případě ohybu bez napětí [2].

2.2.5. Příčné síly

Je-li vlákno vloženo mezi dvě paralelní tvrdé desky, na které působí síla F (obr. 3), dostaváme dvojlam [2]:

$$B_{TF} = 4CF/(\pi Lr) = 4,28 \cdot 10^{-12}F/(Lr), \quad (18)$$

kde L je délka vlákna mezi deskami a r je poloměr vlákna. Výsledná hodnota platí pro vlákno z vysoce křemičitého skla.

Je zřejmé, že bude-li vlákno potaženo měkkým plastovým obalem, bude tento efekt značně omezen.

Praktická aplikace tohoto vztahu se týká především držáků vláken v polarizačně citlivých systémech nebo měřeních. Nejběžnějším způsobem upevnění je fixace v drážce tvaru V pomocí magnetu. Vzhledem k symetrii by se dalo očekávat, že V — drážka s úhlem $2\theta = 60^\circ$ nezpůsobí přídavný dvojlom. Výpočty i experimenty však potvrdily, že minimální dvojlom, vzhledem k třecím silám, není nulový, ale prochází mělkým minimem, takže nejmenší hodnota dvojluomu je cca 30 % z maximální hodnoty dané vztahem (18). Výsledný dvojlom lze approximovat vztahem:

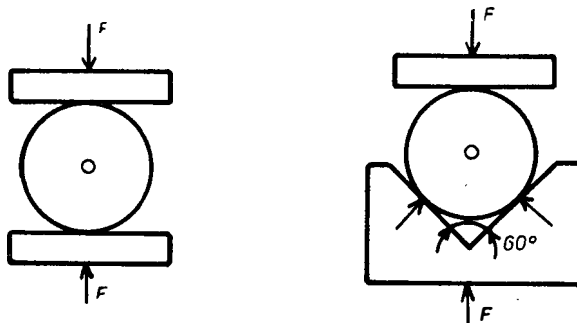
$$B_{TF\theta} = [1 - \cos(2\theta) \sin \theta] B_{TF}/2. \quad (19)$$

2.2.6. Elektrické pole

Příčné elektrické pole má podobný účinek jako příčné síly (obr. 3). Odpovídající dvojlom vzniklý na základě Kerrova efektu [13] je dán:

$$B = K\lambda E^2, \quad (20)$$

kde E je intenzita elektrického pole, λ je vlnová délka a $K \approx 3 \cdot 10^{-16} \text{ m V}^{-2}$ je hodnota konstanty Kerrova efektu pro vlákno z vysoce křemičitého skla.



Obr. 3. Působení příčných sil na vlákno.

2.3. Kruhový dvojlom

Vzhledem k tomu, že stav polarizace každého vidu je dán fázovým posunem mezi dvěma ortogonálními složkami pole, můžeme jeden lineárně polarizovaný vid, šířící se optickým vláknem s ideálně kruhovým jádrem, rozdělit na dva kruhově polarizované vidy (pravotočivě a levotočivě), se stejnými konstantami šíření, a naopak [13].

V kruhově dvojloném optickém vlákně dochází k tomu, že vid kruhově polarizovaný ve směru rotace struktury vlákna se šíří rychleji než vid kruhově polarizovaný proti směru rotace a vzniká kruhový dojlom.

Kruhový dvojlom (tvarový či napěťový) lze vyvolat stočením optického vlákna s úhlově nehomogenní strukturou jádra, elastooptickým nebo magnetooptickým jevem.

Je-li do JOV s kruhovým dvojlonem zavedeno kruhově polarizované záření, je tento stav polarizace zachováván po celé délce vlákna. Naproti tomu, zavedením

lineární polarizace pod libovolným vstupním úhlem, se vždy vybudí oba (pravotočivé, resp. levotočivé) kruhově polarizované vlastní vidy. Tyto vidy mají odlišné konstanty šíření, a proto dochází po délce vlákna k rotaci lineárního stavu polarizace. Důsledkem uvedeného jevu se krátký puls lineárně polarizovaného záření, po průchodu kruhově dvojlovným vláknem, časově rozdělí na dva kruhově polarizované pulsy.

Optické vláknou bez lineárního dvojluwu, rovnoměrně rotované, s rychlostí rotace $\Phi = 2\pi N$ [rad m⁻¹] (N je počet otáček na jednotku délky a $P = 1/N$ je stoupání), může být modelováno jako diskrétní prvek, způsobující rotaci polarizace Ω , která lineárně roste po délce vlákna podle vztahu:

$$\Omega_{(L)} = g\Phi L = \alpha L, \quad (21)$$

kde α je optická rotace na jednotku délky a g je konstanta optické rotace.

Rozdíl konstant šíření pravotočivé a levotočivé polarizovaného vidu je:

$$\delta\beta_c = 2\alpha. \quad (22)$$

Je třeba poznamenat, že na rozdíl od předcházejícího případu lineárního dvojluwu je $\delta\beta_c$ nezávislé na vlnové délce λ a že zanedbáním podélných komponent polí by efekt kruhového dvojluwu zmizel.

Kruhový dvojluom lze vyjádřit vztahem:

$$B_c = \delta\beta_c/k_0 = \lambda g\Phi/\pi = 2\lambda gN. \quad (23)$$

Při daném stočení vlákna závisí kruhový dvojluom na velikosti anizotropie v jádře, neboli na tom, jak silně jsou vlastní vidy vedeny danou stočenou strukturou a jak rotace pole vidu sleduje rotaci struktury jádra. Velikost anizotropie charakterizuje konstanta optické rotace g . Jednotlivé typy kruhového dvojluwu se vzájemně liší velikostí optické rotace α , resp. konstantou g , přičemž výsledný kruhový dvojluom je dán součtem všech dílčích příspěvků $B_c = 2\lambda \sum g_i N_i$.

Pro praktické hodnocení velikosti kruhového dvojluwu je vhodné používat optickou rotační délku L_c , která nezávisí na vlnové délce λ a je dána vztahem:

$$L_c = \lambda/B_c = \pi/(g\Phi) = P/2g. \quad (24)$$

Obvykle udávaná záznějová délka je polovina této hodnoty.

Stočení vlákna s úhlově nehomogenní strukturou jádra nebo obalu za tepla při procesu tažení vede ke vzniku vnitřního tvarového nebo napěťového dvojluwu. Možné struktury vláken lze odvodit ze znalosti toho, že ve vlákně nesmí dojít ke vzniku lineárního dvojluwu, což lze zajistit u struktur, u nichž po otočení kolem podélné osy o 90° dostáváme výchozí strukturu.

2.3.1. Tvarový kruhový dvojluom

U vláken s tvarovým dvojlurom lze strukturu jádra vytvořit (obr. 7) buď jedinou kruhovou excentricky umístěnou inkluzí, nebo symetrickým umístěním čtyř a více inkluzí, či vytvořením jádra tvaru "čtyřlistek". Index lomu inkluzí tvořících jádro musí být větší než index lomu oblasti mezi inkluzem a oblastí obalu jádra. V případě excentrického jádra je nutné zajistit, aby koeficienty teplotní roztažnosti jádra a obalu byly téměř shodné a nemohlo dojít ke vzniku napěťového lineárního dvojluwu. Uspořádání vlákna po stočení excentrického

jádra do tvaru šroubovice je znázorněno na obrázku 4a. Konstantu optické rotace lze vyjádřit vztahem

$$g_{\text{Gh}} = (1 - P/S) [1 - r/(R + r)], \quad (25)$$

kde S je oblouková délka ($S^2 = P^2 + (2\pi R)^2$), P je stoupání a R je vyosení jádra (inkluze) o poloměru r . Je vidět, že pro $2\pi R \ll P$ nebo $R \ll r$ je $g_{\text{Gh}} \approx 0$. Při $2\pi R \approx P$; $r \ll R$ [14] lze dosáhnout maximální hodnoty konstanty $g_{\text{Ghm}} = 0,3$.

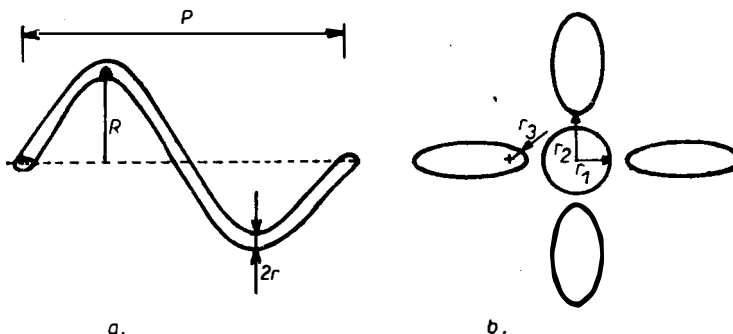
2.3.2. Materiálový kruhový dvojlop

Ve vláknech s napěťovým dvojlopem jsou kolem kruhového jádra, ležícího v ose vlákna, stočeny čtyři napěťové inkluze takového tvaru, aby v jádře byla maximální napěťová anizotropie (obr. 4b). Konstantu optické rotace lze approximovat vztahem

$$g_{\text{ss}} = f(r) B_{\text{Sm}}/2, \quad (26a)$$

kde $B_{\text{Sm}} = CG \Delta s \Delta T$ je maximální hodnota napěťového dvojlopou definovaná v kapitole 2.2.2, G je modul pružnosti materiálu vlákna a $f(r)$ je funkce tvaru struktury vlákna. Pro $r_2 \gg r_1$ nebo $r_3 \gg r_1$ je $f(r) \approx 0$, zatímco při $r_2 \approx r_1$ a $r_3 \ll r_1$ je $f(r) \approx 1$. Dosazením do rovnice (23) je vidět, že hodnotu kruhového dvojlopou B_c srovnatelnou s hodnotou lineárního dvojlopou B_{Sm} lze dosáhnout při $P = 1/N = \lambda$ (stoupání musí být srovnatelné s vlnovou délkou záření), což pro křemenná optická vlákna není technologicky realizovatelné. Z rozboru vyplývá, že při hodnotách stoupání $P \geq 1 \text{ mm}$ bude vnitřní napěťový kruhový dvojlop zanedbatelně malý.

Pro obecnou tvarovou nebo napěťovou anizotropii jádra lze počítat konstantu g na základě řešení skalární vlnové rovnice [15].



Obr. 4. Jádro ve tvaru šroubovice (4a) a obal ve tvaru „čtyřlistku“ (4b).

2.3.3. Zkrut

Zkrut za studena vyvolává torzní napětí (složky tenzoru napětí ve střihu jsou $\sigma_{xz} = -G\Phi y$, $\sigma_{yz} = G\Phi x$), které vzhledem k fotoelasticitému efektu způsobuje optickou aktivitu, přímo úměrnou velikosti zkrutu [16]. Ve vlákně se indukuje napěťový kruhový dvojlop. Konstanta optické rotace se rovná fotoelasticité konstantě, podle vztahu:

$$g_{\text{sz}} = CG = CE/[2(1 - \nu)]. \quad (26b)$$

Pro křemenné sklo je $g_{sz} = -0,16$. Záporné znaménko udává to, že směr torzního napětí je orientován proti směru zkrutu vlákna.

Pro zajištění přijatelné spolehlivosti vlákna je nutné omezit maximální napětí, a tedy i počet otáček N_{\max} na hodnotu $100(60/r)$ pro laboratorní experimenty, resp. $20(60/r)$ pro použití v systémech s vysokou spolehlivostí. Poloměr vlákna r je udán v mikrometrech. Odpovídající minimální rotační záZNĚJOVÉ délky jsou (pro $r = 62,5 \mu\text{m}$) $34,5 \text{ mm}$, resp. 172 mm .

2.3.4. Magnetické pole

V optickém vlákně, vloženém do podélného magnetického pole, vzniká vlivem Faradayova efektu [1] kruhový dvojlon. Optickou rotaci lze vyjádřit vztahem

$$\varkappa = VH, \quad (27)$$

kde H je intenzita magnetického pole a $V = 1,8 \cdot 10^{-18}/\lambda^2 [\text{rad A}^{-1}]$ je Verdetova konstanta pro křemenné sklo při vlnové délce λ .

2.4. Eliptický dvojlon

Eliptický dvojlon charakterizuje obecný případ dvojlonu v optickém vlákně, ve kterém současně existuje jak lineární, tak i kruhový dvojlon (např. v rovnoramenně zkrouceném vlákně s eliptickým jádrem). Vlastní vidy takového optického vlákna jsou polarizovány elipticky v souřadném systému, který rotuje souhlasně se zkrutem vlákna. V pevném souřadném systému je možné charakterizovat polarizační vlastnosti jako kombinaci diskrétních prvků způsobujících zpoždění $R_{(L)}$ a rotaci $\Omega_{(L)}$ [18]:

$$R_{(L)} = 2 \sin^{-1} \{[\sin(fL)]/(1 + q^2)^{1/2}\}, \quad (28)$$

$$\Omega_{(L)} = \Phi L + \tan^{-1} \{[-q \tan(fL)]/(1 + q^2)^{1/2}\}, \quad (29)$$

kde

$$q = 2(\Phi - \varkappa)/\delta\beta, \quad (30)$$

$$2f = [\delta\beta^2 + 4(\Phi - \varkappa)^2]^{1/2}, \quad (31)$$

$$\varkappa = g\Phi, \quad (32)$$

$$\Phi = 2\pi N, \quad (33)$$

$\delta\beta$ je rozdíl konstant šíření způsobený lineárním dvojlonem, zahrnujícím materiálovou i tvarovou anizotropii. Hodnoty parametrů takto definovaných diskrétních prvků však nelze jednoduše slučovat (viz kap. 2.7), mění se periodicky s délkou vlákna a je vhodné je interpretovat pomocí Poincareovy koule.

Z rovnic (28), (29) dostáváme pro nezkroucené vlákno ($\Phi = 0$) s lineárním dvojlonem

$$R = \delta\beta L \quad \Omega = 0, \quad (34)$$

kde fázové zpoždění R se rovná zpoždění v lineárně dvojloném vlákně (3). Naopak pro zkroucené vlákno s malým lineárním dvojlonem ($\varkappa \gg \delta\beta/2$) platí:

$$R = [\delta\beta/(\Phi - \varkappa)] \sin [(\Phi - \varkappa)L] \approx 0, \quad (35)$$

$$\Omega = \varkappa L. \quad (36)$$

Je zřejmé, že v tomto případě ve vlákně vzniká kruhový dvojlon. Je-li optické

vlákno s téměř kruhovým jádrem stočeno při procesu tažení ($g \approx 0$), pak za podmínky $\Phi \gg \delta\beta$ můžeme vyjádřit:

$$R = (\delta\beta/\Phi) \sin(\Phi L), \quad (37)$$

$$\Omega \approx 0. \quad (38)$$

Je vidět, že ve vlákně nedochází k rotaci fáze a fázové zpoždění je periodickou funkcí délky vlákna.

2.5. Dvojlom ve vrstevnatém prostředí

Šíří-li se rovinná vlna prostředím, ve kterém se v příčném směru y periodicky mění index lomu podle vztahu

$$n^2(y) = n_0^2 + n_1^2 \cos(py), \quad (39)$$

kde $p = 2\pi/\Lambda$ a Λ je tloušťka vrstvy, pak dochází k tomu, že se polarizace shodná se směrem vrstev indexu lomu šíří rychleji, než ortogonální polarizace a vzniká dvojlom [17]:

$$B = n_0 \Delta n^2 [1 + (\lambda/\Lambda)^4], \quad (40)$$

kde $\Delta n = 2n_1$ a $\Delta n \ll 1$. Je vidět, že se tento vnitřní tvarový dvojlom začíná výrazněji uplatňovat až při tloušťce vrstvy Λ menší, než je vlnová délka ($\Lambda \leq \lambda$).

2.6. Náhodný dvojlom

Náhodný dvojlom má náhodný charakter a mění se po délce vlákna, s časem a teplotou. Jeho vnitřní příčinou je teplotní závislost elastooptických koeficientů (resp. koeficientů teplotní roztažnosti). Za vnější příčinu lze považovat náhodné změny v ohybu, zkrutu a dvojloninou nekompatibilnost, která vzniká při odlišné orientaci optických os. Náhodný dvojlom, jehož osy symetrie nejsou shodné s osami symetrie vnitřního dvojlonu, může být zdrojem náhodných mezividových vazeb.

2.7. Mezividová vazba

2.7.1. Příčiny mezividové vazby

Pokud nejsou ve vlákně s eliptickým dvojlonem vybuzeny odpovídající vlastní vidy s eliptickým stavem polarizace, pak dochází vždy k mezividové vazbě. Přenos energie mezi ortogonálními vidy bývá obvykle způsoben vnějšími faktory, které budí dvojlom, jehož osy se neshodují s osami vnitřního dvojlonu ve vlákně.

Nejvýraznější poruchu lineárního dvojlonu, a tedy i největší mezividovou vazbu, způsobuje ohyb a příčné síly (včetně elektrického pole), působí-li pod úhlem 45° k optickým osám vlákna. Mezividová vazba může nastat i na základě nenulových vnitřních příčných napětí σ_{xy} a σ_{yx} , daných profilem příčného řezu vlákna a závislých na teplotě okolí. Přenos energie mezi vidy způsobuje i zkrut a magnetické pole, kde dochází k rotaci šířících se vlastních vidů oproti souřadnému systému vnitřního dvojlonu vlákna [18].

V případě kruhového dvojlonu mezividovou vazbu způsobují vlivy vyvolávající lineární dvojlom, tzn. ohyb, příčné síly a elektrické pole, působící na vlákno v libovolném směru.

2.7.2. Kohерentní vazba

Eliptický dvojklom ve vlákně lze interpretovat i využitím rovnic vázaných vln (1). Tyto rovnice jsou řešitelné, je-li dvojklom konstantní po délce optického vlákna, což obvykle závisí na volbě souřadného systému. Například zkroucené lineárně dvojklomné vlákno má konstantní koeficienty pouze v případě stočených lokálních os. V důsledku mezividové vazby dochází po délce vlákna k periodickému přelévání výkonu mezi vidy. Je-li na počátku vlákna vybuzen pouze jeden vid: $A_1(0) = 1$, $A_2(0) = 0$, pak při délce vlákna L charakterizuje výraz $|A_2(L)|^2$ intenzitu pole (výkon) v nežádoucí polarizaci a za podmínky $|A_2(L)|^2 \ll 1$ vyjádřuje zároveň i polarizační přeslech (viz rov. (50)). Platí [2]:

$$|A_2(L)|^2 = [|X|^2 / (|\delta\beta/2|^2 + |X|^2)] \cdot \sin^2 [(2|\delta\beta/2|^2 + 2|X|^2)^{1/2}L]. \quad (41)$$

Pro obvyklé případy eliptického dvojklomu budou uvedeny hodnoty $\delta\beta$ a X , zároveň s volbou polarizace vlastních vidů, protože volba polarizace také ovlivňuje hodnoty koeficientů.

Zkroucené lineárně dvojklomné vlákno

Při volbě lineární polarizace vlastních stavů a stočené souřadné soustavě, jejíž rychlosť rotace odpovídá velikosti indukovaného kruhového dvojklomu, jsou koeficienty:

$$\delta\beta = \delta\beta_v \quad 2X = 2(\Phi - \kappa) = 4\pi N(1-g), \quad (42)$$

kde $\delta\beta_v$ je rozdíl konstant šíření, způsobený vnitřním lineárním dvojklomem, Φ , κ a g jsou definovány v kapitole 2.3, zatímco při kruhově polarizovaných vlastních stavech v kartézské souřadné soustavě platí:

$$\delta\beta = 2\kappa = 4\pi Ng \quad 2X = -i\delta\beta_v. \quad (43)$$

První volba je vhodnější při $|\delta\beta_v| \gg |\kappa|$, protože výsledné vlastní stavy jsou blízké lineární polarizaci. Druhá volba je lepší při $|\delta\beta_v| \ll |\kappa|$, neboť výsledné vlastní stavy jsou blízké kruhové polarizaci. Ze vztahu (42) je vidět, že vidová vazba je největší při stočení lineárně dvojklomného vlákna, když zároveň nevznikne kruhový dvojklom ($g \approx 0$), zatímco s růstem kruhového dvojklomu ($g > 0$) vazba vidů klesá, až při $g = 1$ pole vidů dokonale sleduje rotaci struktury, a proto je vazba nulová.

Uvedené vztahy lze použít i v případě rovinného navíjení kruhově dvojklomného vlákna.

Rovinné navíjení lineárně dvojklomného vlákna

Předpokládáme, že vlákno má vnitřní lineární dvojklom $\delta\beta_v$ a je navíjeno na cívku, aniž by docházelo k jeho zkroucení. Při volbě souřadné soustavy podél ohybu vlákna a lineárně polarizovaných vlastních stavů rovného vlákna dostáváme:

$$\delta\beta = \delta\beta_v + \delta\beta_B \cos(2\vartheta) \quad 2X = -i\delta\beta_B \sin(2\vartheta), \quad (44)$$

kde $\delta\beta_B$ je vyvoláno ohybem vlákna (15), přičemž ϑ je úhel mezi osami vnitřního a indukovaného lineárního dvojklomu. Výsledné vlastní stavy jsou opět lineárně polarizované.

Šroubovité navíjení vlákna

Předpokládejme, že vlátko je šroubovitě navíjeno na nosný prvek válcového tvaru, což je případ některých konstrukcí optických vláknových kabelů. Při volbě lineárně polarizovaných vlastních stavů s osami danými výsledným lineárním dvojlohem ve vlákně, vyosením jádra R a stoupáním P (viz kap. 2.3) platí:

$$\delta\beta = [\delta\beta_1^2 + \delta\beta_B^2 + 2\delta\beta_v\delta\beta_B \cos(2\vartheta)]^{1/2}, \quad (45)$$

$$2X = \Phi - \varkappa = 2\pi N(1 - g), \quad (46)$$

kde $\delta\beta_v$ udává vnitřní lineární dvojlohem $\delta\beta_B$ lineární dvojlohem indukovaný ohybem na poloměru $R_h = \{[P^2 + (2\pi R)^2]^{1/2}\}/2\pi$ a Φ , \varkappa charakterizují kruhový dvojlohem indukovaný šroubovitým uspořádáním vlákna (viz kap. 2.3.1). Při volbě kruhově polarizovaných vlastních stavů a stejně souřadné soustavě dostáváme:

$$\delta\beta = 2\varkappa = 4\pi Ng \quad (47)$$

$$2X = i[\delta\beta_1^2 + \delta\beta_B^2 + 2\delta\beta_v\delta\beta_B \cos(2\vartheta)]^{1/2}. \quad (48)$$

Je vidět, že situace je analogická případu zkrutu vlákna s lineárním dvojlohemem, přičemž stejné závěry platí i o výsledných vlastních stavech.

2.7.3. Náhodná vazba

Je-li možné určit funkci popisující poruchu podél PJOV, pak lze výstupní stav polarizace vyjádřit přesně (viz kap. 2.7.2). Avšak na optická vlákna působí i náhodné poruchy, které vedou k postupnému přelévání výkonu z vidu vybuzeného do ortogonálního, čímž dochází k růstu polarizačního přeslechu. Pro kvalitativní hodnocení těchto efektů lze použít teorii výkonové vazby, která vychází z rovnice (1), při středování všech parametrů na velké skupině vláken. V daném případě to lze chápat jako středování přes široký rozsah podnínek okolního prostředí (např. teploty) nebo vlnových délek, neboť při každé podmínce se dvojlohem podél vlákna může lišit. Při dané spektrální šířce lze považovat středovací efekt za dostačený, je-li délka optického vlákna mnohem větší než hodnota výrazu: $1/(dvojlohmá disperze \times spektrální šířka)$. Je nutné si uvědomit, že výsledky teorie výkonové vazby nelze srovnávat s výsledky měření provedeném na jediném vlákně, pokud se při měření nepoužíval zdroj záření s velkou spektrální šířkou nebo vlátko nebylo vícevidové. V daný okamžik totiž měříme pouze jediný vid, přičemž ve srovnání s teoretickým modelem je neurčitost 100 %, zatímco u mnohovidových vláken je následkem vícevidovosti neurčitost 20 % [2].

V optickém vlákně, v němž lze stav polarizace popsat rovnicemi (1), za předpokladu, že $\delta\beta$ a X se mění statisticky náhodně podél optického vlákna (přičemž střední hodnota X je nula, střední hodnota $\delta\beta$ je mnohem vyšší než fluktuace a $A_1(0) = 1$, $A_2(0) = 0$, $|A_2(L)| \ll 1$), je parametr náhodné vazby vidu h dán vztahem [2], [19]:

$$h = |A_2(L)|^2/L = (1/4) \int_{-\infty}^{\infty} \langle X(\xi)X^*(\xi - \zeta) \rangle \exp(i < \delta\beta > \zeta) d\zeta = \\ = (1/L) \tanh^{-1}(P_y/P_x) \approx -(1/2L) \ln [(P_x - P_y)/(P_x + P_y)], \quad (49)$$

kde závorky $<>$ označují středování (na množství vláken, na širokém rozsahu podnínek okolního prostředí nebo na velké spektrální šířce), L je délka měřeného vlákna a P_x , P_y jsou výkony vidu excitovaného a vázaného dvou ortogonálních polarizací.

Polarizační přeslech v decibelech je dán vztahem [20]:

$$CT = -10 \log [\tanh(hL)] = -10 \log (P_y/P_x), \quad (50)$$

kde poměr P_y/P_x se nazývá extinkční koeficient. Platí-li $hL \ll 1$, pak lze použít approximaci $\tanh(hL) \approx hL$. Je vidět, že přeslech CT je závislý na délce měřeného vlákna, která musí být vždy u tohoto údaje udána, a proto se obvykle používá parametr h , který udává reálný přeslech ve vlákně normovaný na jednotku délky, při působení náhodných vnějších poruch (např. při navinutí vlákna na cívku).

Vzhledem k existenci vnitřních a vnějších faktorů, ovlivňujících vývoj polarizačního stavu, je sporné, je-li vhodnější charakterizovat zachování polarizace vidovým dvojarem B nebo h — parametrem, který poskytuje více informací o kvalitě navinutí nebo povlaku vlákna, než o vlákně samotném. Na druhé straně vidový dvojarem popisuje odolnost polarizačního stavu vlákna k příčné vazbě (vyvolané v JOV s vysokým dvojarem pouze vnitřními faktory), a proto je vnitřní vlastnosti vlákna. Problém je komplikován skutečností, že pole vidu (v lineárně dvojlovných vláknech) není zcela rovinně polarizované, ale ve skutečnosti má minoritní složku pole ortogonální polarizace v rozmezí -32 až -45 dB. JOV zachovávající polarizaci vyráběná v současné době dosahuje běžně hodnot h — parametru od 10^{-5} do 10^{-6} m^{-1} (přeslech -20 až -30 dB při délce 1 km), výjimečně i 10^{-7} . Chceme-li změřit h — parametr spolehlivě, musíme použít dlouhá vlákna. Avšak potom v měření obvykle dominují vnější poruchy.

Vzhledem k tomu, že vidový dvojarem je vnitřní vlastnosti vlákna, zdálo by se být lepší měřit tuto charakteristiku vlákna než-li h — parametr. Avšak nejlepší řešení by bylo, měřit h — parametr vlákna, vystaveného kontrolovatelným poruchám, jako je ohyb na cívce s konstantním poloměrem nebo zkrut. V tomto případě by odolnost vlákna k přeslechům mohla být přímo specifikována, protože měření by automaticky zahrnovala odolnost vlákna (včetně vnějšího obalu) k přeslechům způsobeným mikroohyby a tlakem [21].

2.7.4. Vliv koeficientů útlumu na vazbu vidu

V případě JOV zachovávajících polarizaci je nutné měřit koeficienty útlumu α_x a α_y pro obě ortogonální polarizace vidu, včetně závislostí na vlnové délce a mezních vlnových délek, při kterých vidy přestávají být vedeny ("cut-off"), a započítat jejich vliv do rovnic vazby vidu (1). Rozdílnost koeficientů útlumu α_x a α_y ukazuje na existenci dichroismu.

Efekt dichroismu je nutné zahrnout do měření a výpočtu parametru h , kde by jinak mohly vzniknout značné chyby, zejména pro malé hodnoty parametru $h \leq 10^{-6}$. Na základě teorie výkonové vazby (viz kap. 2.7.3) lze při $\alpha_x \neq \alpha_y$ odvodit vztahy [22]:

$$h = (1/\eta L) \tanh^{-1} [2\eta/(\varrho_x + \varrho_y)], \quad (51)$$

$$\eta^2 = 1 + [(\varrho_x - \varrho_y)/2]^2, \quad (52)$$

$$\Delta\alpha = h(\varrho_x - \varrho_y), \quad (53)$$

kde $\Delta\alpha = \alpha_x - \alpha_y$ a $\varrho_x = P_x/P_y$, resp. $\varrho_y = P_y/P_x$ jsou extinkční koeficienty při vybuzení vlastního stavu, polarizovaného ve směru x , resp. y .

Pro vysoce dvojlovná vlákna (kromě jednopolarizačních) v praxi obvykle platí $\varrho_x \approx \varrho_y \gg 1$. Za této podmínky se rovnice (51) až (53) zjednoduší:

$$\hbar \approx 2/L(\varrho_x + \varrho_y) \quad \Delta\alpha \approx 2(\varrho_x - \varrho_y)/L(\varrho_x + \varrho_y). \quad (54)$$

Je vidět, že pro $\Delta\alpha = 0$ dostáváme vztah $\hbar L = P_x/P_y$, uvedený v rovnicích (49) a (50).

2.8. Polarizační disperze

Jakmile mají dva šířicí se ortogonální vidy rozdílné konstanty šíření, pak se vzájemně liší i konstantou skupinového zpoždění. To znamená, že výkon přenášený v jednotlivých videch bude mít odlišné zpoždění, což způsobí rozšíření krátkého světelného脉su zavedeného do vlákna. Polarizační disperze $\delta\tau$ (časové zpoždění Δt , vztázené na jednotku délky vlákna) je charakterizována rozdílem dvou skupinových zpoždění ortogonálních polarizací:

$$\delta\tau = (1/c) d(2f)/dk = B_{sk}/c, \quad (55)$$

kde c je rychlosť světla ve vakuu, B_{sk} je skupinový dvojstrom zavedený analogicky ke skupinovému indexu lomu a $2f$ je rozdíl konstant šíření, mezi ortogonálními vidy, ve vlákně s obecně eliptickým dvojstromem, definovaným vztahem (31).

Pro telekomunikační aplikace se B_{sk} jeví jako základní parametr, přičemž se zdá vhodnější měřit ho přímo (např. polarizačně spektrální metodou), než jej počítat z fázového dvojstromu B , jehož měření je obvykle méně přesné [9].

Pokud je ve vlákně dvojstrom B , pak platí:

$$B_{sk} = B - \lambda dB/d\lambda. \quad (56)$$

U vláken s napěťovým lineárním dvojstromem lze pro obvyklý rozsah vlnových délek $0,6 \text{ } \mu\text{m} \leq \lambda \leq 1,6 \text{ } \mu\text{m}$ vyjádřit skupinový dvojstrom takto:

$$B_{sk} \approx B_s, \quad (57)$$

kde B_s je napěťový lineární dvojstrom.

Pro vlákna s tvarovým lineárním dvojstromem je skupinový dvojstrom obecně dán vztahem:

$$B_{sk} = n_1 \Delta n^2 f(e, V), \quad (58)$$

kde e je elipticitá jádra a V je normalizovaná frekvence, avšak pro $V \geq 2$ se obvykle uvažuje $dB/d\lambda \approx 0$, a proto $B_{sk} \approx B_G$.

Pro vlákna s kruhovým dvojstromem B_c platí:

$$B_{sk} \approx K \lambda B_c, \quad (59)$$

kde $K = 8,7 \cdot 10^4 \text{ m}^{-1}$ a λ je vlnová délka záření.

Srovnáním uvedených vztahů je vidět, že polarizační disperze u vláken s kruhovým dvojstromem je cca 10 až 20krát nižší než pro vlákna s lineárním napěťovým dvojstromem a je závislá na vlnové délce.

Zdá se, že nejhodnější způsob, jak snížit polarizační disperzi na minimum, je (kromě použití vláken přenášejících pouze jedinou polarizaci, kde je polarizační disperze nulová) použít stáčená vlákna, vyrobená rotací preformy při procesu tažení. Je-li rychlosť rotace $\Phi \gg \delta\beta$, pak (37) je časové zpoždění Δt sinusovou funkcí délky vlákna a její maximální hodnota je nepřímo úměrná rychlosti rotace Φ podle vztahu:

$$\Delta t = (1/c) dR/dk_0 = (B/c) 2\pi N \sin(2\pi NL), \quad (60)$$

kde N je počet zkrutů na jednotku délky a L je délka vlákna. Je vidět, že pro určité vzdálenosti, které se opakují s periodou $P/2$, je polarizační disperze nulová. Avšak i maximální hodnota disperze je $(2\pi N)$ krát nižší, než u vláken nestáčených.

2.9. Napětí v podélném směru

Zatímco optické charakteristiky vlákna jsou hlavně určeny rozložením mechanického napětí v příčném směru (σ_x , σ_y), pevnost vlákna a zvláště pevnost v tahu je určena především osovým napětím σ_z . Bylo dokázáno [23], že životnost vlákna t_s při statickém namáhání v tahu při konstantní teplotě souvisí s napětím σ_z podle vztahu:

$$t_s = K \sigma_z^m, \quad (61)$$

kde m a K jsou konstanty charakterizující materiál a okolní prostředí. Praktická zkušenosť ukázala, že preformy vláken s napěťovými prvky jsou mnohem křehčí než vlákna samotná. Bylo zjištěno, že napětí v preformě je větší než ve vlákně, čímž lze vysvětlit křehkost preforem. Dále výpočty ukázaly, že PJOV jsou na povrchu odolnější vůči vzniku mikrotrhlin oproti klasickým vláknům, což je dáno vyšším tlakovým napětím na povrchu těchto vláken [24].

3. TYPY A TECHNOLOGIE PJOV

Vývoj polarizačních JOV s nízkým útlumem probíhá ve dvou směrech. Jsou navrhovány struktury optických vláken, ve kterých se buď $B \approx 0$ ($\beta_1 \approx \beta_2$ optická vlákna s minimálním dvojstrom), nebo $B \geq 10^{-5}$ (optická vlákna s maximálním dvojstrom). Optická vlákna s minimálním dvojstrom vykazují malou polarizační disperzi, avšak stav polarizace není definován a závisí na faktorech okolního prostředí. Tato vlákna jsou používána v telekomunikacích a optických senzorech. Naproti tomu ve vláknech s maximálním dvojstrom je stav polarizace dobře definovaný, ale polarizační disperze (dojde-li k mezividové vazbě) může být vysoká. Taková vlákna nacházejí aplikace v interferometrech a fázově koherentních systémech detekce.

V poslední době se objevuje ještě třetí směr vývoje, a to JOV přenášející pouze jedinou polarizaci, která se nazývají jednopolarizační JOV. Stav polarizace v těchto vláknech je definován dokonale, polarizační disperze je nulová, ale útlumy jsou zatím dosud vysoké. Tato vlákna nacházejí aplikace v senzorech a prvech vláknové optiky. Vzhledem k vysokému útlumu se zatím v telekomunikacích neuplatňují.

3.1. Vlákna s nízkým dvojstrom

Vlákna s nízkým dvojstrom jsou požadována pro konstrukci polarimetrických senzorů, kde je změna výstupního stavu polarizace zkoumána jako míra velikosti vnějšího efektu. V těchto případech by se mohl vnitřní dvojstrom ovlivňovat s indukováným, což by mohlo způsobit snížení citlivosti, a proto je zde vhodné použít vlákno s minimálním vnitřním dvojstrom. Použití těchto vláken v telekomunikacích je v těch případech, kdy je požadován zanedbatelný rozdíl skupinových rychlostí, bez ohledu na to, že výstupní stav polarizace není definován.

3.1.1. Ideální optická vlákna

Nízkého lineárního dvojdomu lze v optických vláknech dosáhnout snížením:

1. tvarového dvojdomu B_G zachováním dokonalé kruhovosti jádra a 2. elasto-optické anizotropie B_s zmenšením zbytkových napětí v jádře. Tyto podmínky je možné splnit pečlivým dodržováním technologie výroby.

Přispěvek B_G je definován vztahem (5) a je pro hodnoty $e < 0.8$ lineárně závislý na elipticitě [25]. Tak je možné při nízkém Δn a kruhovosti lepší než 0.1 % vyrobit optická vlákna se záznamovou délkou $L_B > 100$ m [26].

Výsledný dvojdom je sice nízký, ale tyto výsledky jsou velmi obtížně reprodukovatelné, což je dáno nekontrolovatelným přispěvkem vnitřní napěťové anizotropie B_s .



3.1.2. Kompenzovaná optická vlákna

Napěťová anizotropie B_s je způsobena odlišným teplotním smrštěním materiálů mezi jádrem, obalem a pláštěm při chlazení na pokojovou teplotu. Malá asymetrie příčného řezu vlákna tak může vyvolat velkou nerovnováhu tlaků a způsobit podstatnou anizotropii v jádře. Obvykle B_G a B_s působí souhlasně, za předpokladu, že koeficient teplotní roztažnosti jádra je vyšší než obalu. Je-li koeficient teplotní roztažnosti jádra v trívrstvové struktuře, používané pro tato vlákna, značně menší než koeficient teplotní roztažnosti obalu dopovaného B_2O_3 , pak B_s a B_G mohou mít opačná znaménka. Je zřejmé, že vhodnou volbou použitých materiálů lze splnit podmínu: $B_s - B_G = 0$ a tak dosáhnout vzájemné kompenzace obou složek. Dvojdom je pak nezávislý na změně elipticity dané výrobou, protože sobě složky jsou na elipticitě lineárně závislé.

3.1.3. Stáčená optická vlákna

Je-li lineárně dvojdomné vlákno zkroucenou, rychlostí Φ [rad m⁻¹], pak dochází ke stáčení profilu vlákna a současně i lokálních optických os (viz kap. 2.3). Můžeme uvažovat, že je vlákno složeno z částí, majících délku čtvrt periody a v nichž lineární dvojdom mění znaménko. Potom, přestože každá část může mít relativně vysoký lineární dvojdom, jeho efekt se kompenzuje v následující stočené části. Tímto způsobem vzniká zpoždění $R_{(L)}$, které podél osy vlákna osciluje mezi malou kladnou a zápornou hodnotou. Tak může být zkrut použit k redukci lineárního dvojdomu, ačkoli současně s tím vzniká elasto-optická rotace ω . Vztah mezi lokálním lineárním a kruhovým dvojdomem vede k závislostem zpoždění $R_{(L)}$ a rotace $\Omega_{(L)}$ (viz rovnice 28 až 33). Rotace Ω nastává v případě zkrutu vlákna za studena, které lze při procesu tažení vlákna provést otáčením celého navijecího zařízení kolem taženého vlákna. Dochází ke zkrutu již vychlazeného vlákna a částečně i k „zamrzání“ torzního napětí do jeho struktury. Budeme-li během procesu tažení naopak otáčet preformou, pak ve vlákně s malou odchylkou od válcově symetrické struktury jádra kruhový dvojdom nevznikne, protože při teplotě tažení je vlákno ve viskózním stavu, působící síly vedou k okamžité deformaci, přičemž se napětí nemůže ve vlákně zachovat ($g_{sz} \approx 0$) a další složky kruhového dvojdomu jsou zanedbatelně malé ($g_{ss} \approx 0$, $g_G \approx 0$). Je-li rychlosť rotace $\Phi \gg \delta\beta$, pak pro zpoždění $R_{(L)}$ platí vztah (37). Nedochází sice ke zmenšení lineárního dvojdomu optického vlákna, ale k omezení návrstu fázového zpoždění po délce vlákna. Fázové zpoždění je funkcí L i Φ . Jeho maximální hodnota je:

$$|R_{\max}| = \delta\beta/\Phi. \quad (62)$$

Snížením maximální hodnoty fázového zpoždění ve vlákně dojde i ke zmenšení polarizační disperze, resp. časového zpoždění (60).

Z uvedených vztahů je zřejmé, že za podmínky $P \ll L_B$ je možné převést každé vysoce dvojlomné vlákno na nízko dvojlomné. Je třeba pamatovat na to, že vlákno se sice navenek chová jako izotropní, avšak stále si zachovává vnitřní anizotropii. Následkem toho se může při jeho zkroucení za studena (opačným směrem, než je stočena jeho vnitřní struktura) znovu projevit lineární dvojlam [18].

Technologie stáčení preformy při procesu tažení se jeví jako velmi výhodná při výrobě běžných JOV. Vzhledem k záznějové délce $L_B > 1$ m, dostatečně vyhovuje $P \approx 100$ mm, což při rychlosti tažení cca 30 m/min vyžaduje rychlosť otáčení preformy cca 300 ot/min. Tímto způsobem lze snadno potlačit malé nedokonalosti, vzniklé při procesu MCVD, přičemž vlákna nevykazují žádný přídavný útlum.

3.2. Vlákna s vysokým dvojlamem

Vlákna s vysokým dvojlamem jsou obvykle nazývána JOV zachovávající polarizaci. V těchto vláknech je dvojlam zvýšen nad úroveň, která by pravděpodobně mohla vzniknout působením vnějších vlivů ($L_B < 1$ mm). Optická vlákna jsou pak necitlivá k vnějším poruchám, protože dvojlam indukovaný těmito poruchami je zanedbatelně malý proti vysoké hodnotě vnitřního dvojlamu. Tímto způsobem může být, v optických vláknech s lineárním nebo kruhovým dvojlamem (viz kap. 2.1), vybrán a zachován přenos pouze jediného vlastního vidu (lineárně nebo kruhově polarizovaného), aniž by docházelo k energetické vazbě na ortogonálně polarizovaný vid. Toho lze výhodně použít ve vláknových interferenčních senzorech nebo pro zvýšení šířky pásmá v telekomunikacích. Nicméně dojde-li k přenosu energie do ortogonálního vidu, pak je disperze optického pulsu naopak velmi vysoká (viz kap. 2.8).

Byla popsána řada struktur vláken zachovávajících polarizaci. Lze však rozeznat dva základní typy, kdy se dvojlam dosahuje buď tvarovou, nebo napěťovou anizotropií.

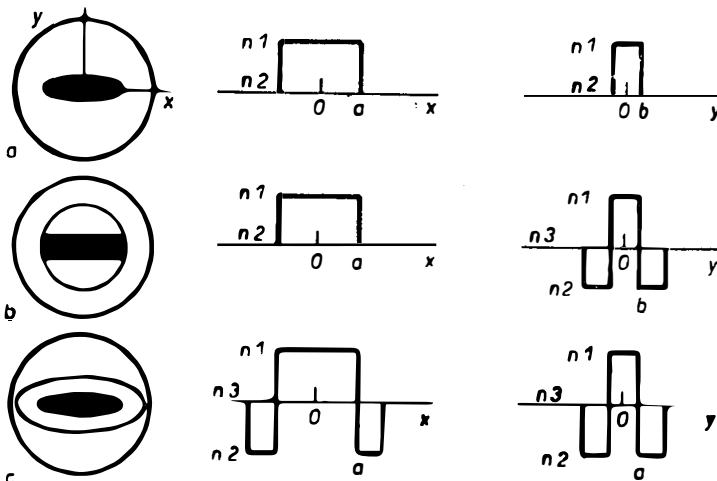
3.2.1. Vlákna s tvarovým lineárním dvojlamem

Geometrický dvojlam může být zaveden několika způsoby. Nejobvyklejší je použít elipticky tvarované jádro, které má podstatně vyšší index lomu než jeho okolí. Tento typ vláken lze vyrábět běžnou technologií MCVD, při pečlivém provedení kolapsu za sníženého tlaku [27].

U dalších navrhovaných vláken s geometrickým dvojlamem, jako jsou vlákna s krystalickým jádrem, se zvýšeným či sníženým indexem lomu po stranách jádra nebo u vláken s W -eliptickou strukturou, zatím nebylo dosaženo parametrů, které předpovídala teorie. Složitá struktura a obtížná výroba způsobují kompromisy mezi útlumem a zachováním polarizace, takže tato vlákna nejsou vhodná pro aplikace na více než několika metrech. Na obr. 5 jsou nakresleny příčné řezy a profily indexu lomu struktury s eliptickým jádrem (a), se snížením indexu lomu po stranách jádra (b) a W -eliptický profil (c).

U těchto strukturách je dvojlam B_G definován vztahem (7). Z hlediska eliptičnosti existuje optimum pro $a/b \approx 2$ až 3 [28]. Dvojlam se též zvyšuje s rostoucím rozdílem indexů lomu Δn . Vyšší index lomu jádra znamená vyšší koncentraci dopantů a to způsobuje vyšší útlum. U struktur se snížením indexu lomu po

stranách jádra a u W -eliptických struktur se proto využívá toho, že v bariéře je n_2 nižší, než je index lomu křemene, čímž se dosahuje vyšší Δn bez přídavného nárustu útlumu. Ze vztahu pro výpočet normalizované frekvence V (9) vidíme, že při zvyšování Δn , za podmínky zachování jednovidového stavu ($V = \text{konst}$; $\lambda = \text{konst}$) musíme zmenšovat rozměry struktury. Potom však mohou vznikat problémy v technologii výroby. Tako bylo dosaženo záZNĚjové délky $L_B = 0,75 \text{ mm}$ [28] pro vlákna o rozměrech $3 \mu\text{m} \times 1 \mu\text{m}$, $\Delta n = 0,065$, $\lambda = 1 \mu\text{m}$.



Obr. 5. Přičné řezy a profily indexu lomu struktur s tvarovým lineárním dvojlomem.

Podíl napěťové složky B_s v celkovém dvojlomu závisí na složení skel (na jejich koeficientu teplotní roztažnosti). Pro běžná vlákna s jádrem $\text{GeO}_2/\text{SiO}_2$ a $\text{B}_2\text{O}_3/\text{SiO}_2$ v obalu bývá u eliptického jádra podíl napěťové složky dvojlomu B_s menší než 15 %. U ostatních struktur však tento příspěvek může být výrazně vyšší [3].

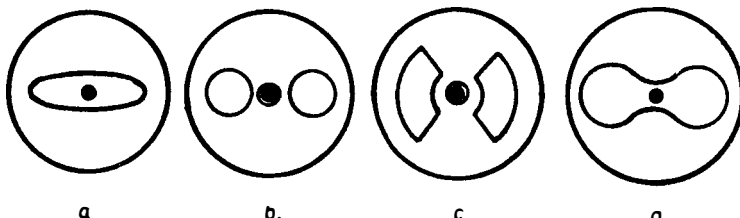
3.2.2. Vlákna s napěťovým lineárním dvojlomem

Napěťový dvojlom vzniká použitím napěťových prvků, vytvářejících v kruhovém jádře anizotropii v rozdílu indexu lomu (viz kap. 2.2.2). Rozdíl napětí je dosahován vysokým dopováním napěťových prvků, což způsobuje zvýšení koeficientu teplotní roztažnosti. Po vytažení ve vlákně zůstává zbytkové napětí. Na obr. 6 jsou zobrazeny nejobvyklejší struktury: elipticky (nebo činkovité) tvarovaný obal, obklopující kruhové jádro (obr. 6a, d) [29] nebo napěťové prvky kruhového (obr. 6b) [30], či „motýlkového“ (obr. 6c) [31] tvaru, umístěné po stranách kruhového jádra.

Optická vlákna s eliptickým obalem jsou vyráběna klasickým MCVD procesem, při kterém je vrstva s odlišným koeficientem teplotní roztažnosti deponována dříve než jádro. Kruhového tvaru jádra v eliptickém obalu lze dosáhnout složitějším kolapsem, během něhož je pečlivě kontrolován vnitřní tlak v preformě.

Výroba vláken s „motýlkovou“ nebo „činkovou“ strukturou vyžaduje další mezistupeň výroby, a tím je leptání (obvykle fluorem), přednostně ve zvolených směrech, čímž se odleptá část vrstvy s odlišným koeficientem teplotní roztažnosti.

Tato operace se provádí před depozicí jádra. Dalším možným způsobem je řízená depozice, kdy je při depozici preforma po stranách zčásti obklopena tepelnými štity. Na zacloněných místech probíhá depozice s nižší účinností, takže výsledná struktura je nesymetrická.



Obr. 6. Struktury vláken s napěťovým lineárním dvojstrom.

Kruhové napěťové prvky vyžadují vrtání děr do preformy, do kterých jsou zasunuty tyče s vhodným koeficientem teplotní roztažnosti. Tato technologie je dostatečně účinná až při větších průměrech preformy (vyrobné technologií vnější depozice — OVD nebo axiální depozice — VAD). Vrtání preforem se obvykle provádí ultrazvukem, a je proto principiálně možné vytvořit otvory s libovolným tvarem. Při jiném tvaru než kruhovém však vznikají obtíže s přípravou napěťových tyčí. Takto vytvořených otvorů lze využít i pro výrobu účinných vláknových polarizátorů nebo modulátorů, když je do otvoru (ve vlákně) napumppován kov (galium) [32].

U vláken s napěťovým dvojstrom opět vzniká nutnost kompromisů mezi zachováním polarizace a útlumením. Napěťový dvojstrom roste při zmenšování vzdálenosti prvků od jádra, avšak při malé vzdálenosti se část energie vidu šíří napěťovým prvkem, což způsobuje nárůst ztrát. Navíc zachování polarizace mohou narušit mikro- a makro-ohybové efekty. Avšak vážnější obtíže jsou s podstatou vláken samotných. Dvojstrom vyvolaný napětím, daným rozdílem teplotního smrštění, je silně závislý na teplotě a to v některých případech omezuje rozsah použití těchto vláken v senzorových aplikacích. Další problémy vznikají při výrobě polarizátorů, děličů a vláknových prvků, protože dosažení oblasti jádra je složitá operace, přičemž dochází ke změně vnitřních napětí. Naproti tomu u vláken s elliptickým jádrem (kap. 3.2.1) jsou kompromisy jen minimální. Vlákna jsou vyráběna s nízkým útlumem (menším než 2 dB/km) a vysokou schopností zachovávat polarizaci [33]. Ohyb vlákna, až na tak malý poloměr, kdy se vlákno zlomí, nezpůsobuje výrazné zhoršení optických vlastností. Tyto vlastnosti jsou zachovávány v širokém rozmezí teplot, což je nezbytné pro jejich aplikace v senzorech. Vzhledem k teplotní stabilitě jsou děliče a polarizátory obvykle vyráběny z vláken s elliptickým jádrem. Jádro je snadno dostupné buď leptáním, nebo broušením, přičemž na rozdíl od vláken s napěťovými prvky nedochází k žádným nežádoucím efektům.

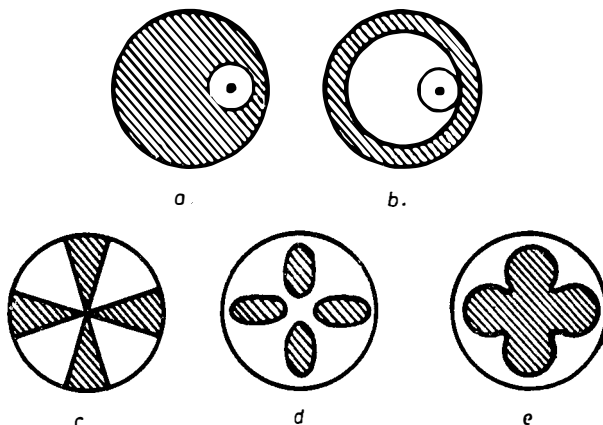
3.2.3. Vlákna s tvarovým kruhovým dvojstrom

Ve vláknach se šroubovitým tvarem jádra vznikají vždy radiační ztráty, které lze rozdělit na ohybové ztráty a ztráty způsobené šroubovitým tvarem jádra. První typ ztrát převládá, je-li průměr jádra mnohem menší než jeho vyosení (viz kap. 2.3.1), zatímco druhý typ převládá v případě, kdy je průměr jádra

srovnatelný nebo větší než vyosení jádra. Radiační ztráty jsou limitním faktorem při dosahování maximálních hodnot kruhového dvojlomu, protože zvyšovat kruhový dvojložek je možné zvětšováním vyosení jádra R až na hodnotu $R \approx P/2\pi$ (úhel stoupání závitu $\approx 45^\circ$) a dále celkovým zmenšováním rozměrů šroubovice. V obou případech je pro zachování minimálních radiačních ztrát nutné zároveň zvyšovat relativní rozdíl indexu lomu tak, aby šířící se vlna byla vedena jádrem co nejtěsněji.

Vlákna se šroubovitým tvarem jádra lze vyrobit buďto stočením vlákna (za tepla při procesu tažení) s excentricky umístěným jádrem, nebo šroubovitým navinutím klasického JOV na nosný prvek válcového tvaru při kabelování vlákna.

Při šroubovitém navíjení vlákna je omezujícím faktorem pro dosažení maximálního kruhového dvojlomu pevnost vlákna (kap. 2.2.3). Maximální kruhový dvojložek dosažitelný s vláknem o poloměru $r = 62,5 \mu\text{m}$ je $L_c \approx 23 \text{ mm}$, pro laboratorní experimenty, resp. 117 mm pro systémy s vysokou spolehlivostí ($P = 2\pi R \approx 14 \text{ mm}$, resp. 69 mm). Při $\Delta n \approx 1\%$ jsou radiační ztráty zanedbatelné. Vyšších hodnot dvojlomu by mohlo být dosaženo zmenšením průměru vlákna. Nevýhodou tohoto uspořádání je to, že se vlivem ohybu indukuje i lineární dvojložek (kap. 2.7.3), který způsobuje vidovou vazbu.



Obr. 7. Příčné řezy vláknem se šroubovitým jádrem (7a—7b) a řezy jader se „čtyřlistkovou“ strukturou.

Při výrobě stočených vláken s excentrickým jádrem se vychází z excentrické preformy, kterou lze připravit buďto zasunutím vysoce dopované křemenné tyčky (nebo klasické MCVD preformy pro dosažení nízkých ztrát) do ultrazvukově vyvrťaného excentrického otvoru v křemenné tyči (obr. 7a), nebo přitavením tyčky či preformy na vnitřní stěnu křemenné trubky (obr. 7b), tak aby bylo jádro dostatečně mechanicky zajištěno. Rozměry je vhodné volit tak, aby bylo dosaženo maximální excentricity jádra. Při tažení je nutné otáčet preformou rychlostí minimálně 2000 ot min^{-1} , přičemž rychlosť tažení volíme co nejmenší, abychom dostali stoupání závitu šroubovice cca 1 až 2 mm. Pro takto připravená vlákna o průměru až $800 \mu\text{m}$ (vyosení $340 \mu\text{m}$; $\Delta n \approx 2\%$) dosahovala rotační záZNějová délka hodnoty $L_c = 4 \text{ mm}$ [34], což je hodnota srovnatelná s dvojložkem dosaženým v lineárně dvojložkových vláknech. U těchto vláken je však nutné buďto vysoce dopovádat jádro, protože při běžném $\Delta n \approx 1\%$ jsou radiační ztráty extrémně

vysoké ($\approx 100 \text{ dB m}^{-1}$) [35], nebo zvětšit průměr jádra. Vzhledem k tomu, že v optických vláknech se šroubovitým jádrem dochází k vyzáření vyšších vidů, jsou tato vlákna jednovidová až do oblasti vysokých hodnot normalizované frekvence $V \approx 20$ [36].

Jak je vidět, šroubovitým tvarem jádra lze při zachování nízkých radiačních ztrát dosáhnout vysokých hodnot kruhového dvojlamu pouze u vláken s nestandardním průměrem, přičemž vzhledem k vyosení jádra vznikají navíc i problémy při navazování vláken. Proto se zdá, že vhodnější bude vyrábět vysoce kruhově dvojlamná vlákna stočením preformy s jádrem ve tvaru „čtyřlístku“, umístěným v ose. Možné struktury jader, vláken tohoto typu, jsou zobrazeny na obr. 7c—e, kde jsou šrafováně vyznačeny oblasti s vyšším indexem lomu.

3.2.4. Vlákna s napěťovým kruhovým dvojlamem

Ukazuje se, že v některých případech je vhodné použít vláken s kruhovou polarizací, vyrobených zkrutem vláken s válcově symetrickou strukturou za studena [37]. V tomto případě se jedná o indukovaný napěťový dvojlam (kap. 2.3.). Je-li dvojlam dostatečně vysoký (obvykle vyhovuje 50 až 70 otáček m^{-1}), pak je stav polarizace dostatečně necitlivý na vnější vlivy, působící na optické vlákno. To, že je vlastní stav polarizace kruhově symetrický, přičemž jádro je izotropní a v ose vlákna, je výhodné zejména při navazování optických vláken, protože nastavení je nezávislé na úhlu natočení konce vlákna. Nevýhodou však je, že vlákno musí být zkroucenno po celé délce, tzn. i v konektorech (maximální délka úseku vlákna bez zkrutu musí být mnohem menší než rotační záZNĚJOVÁ délka L_c).

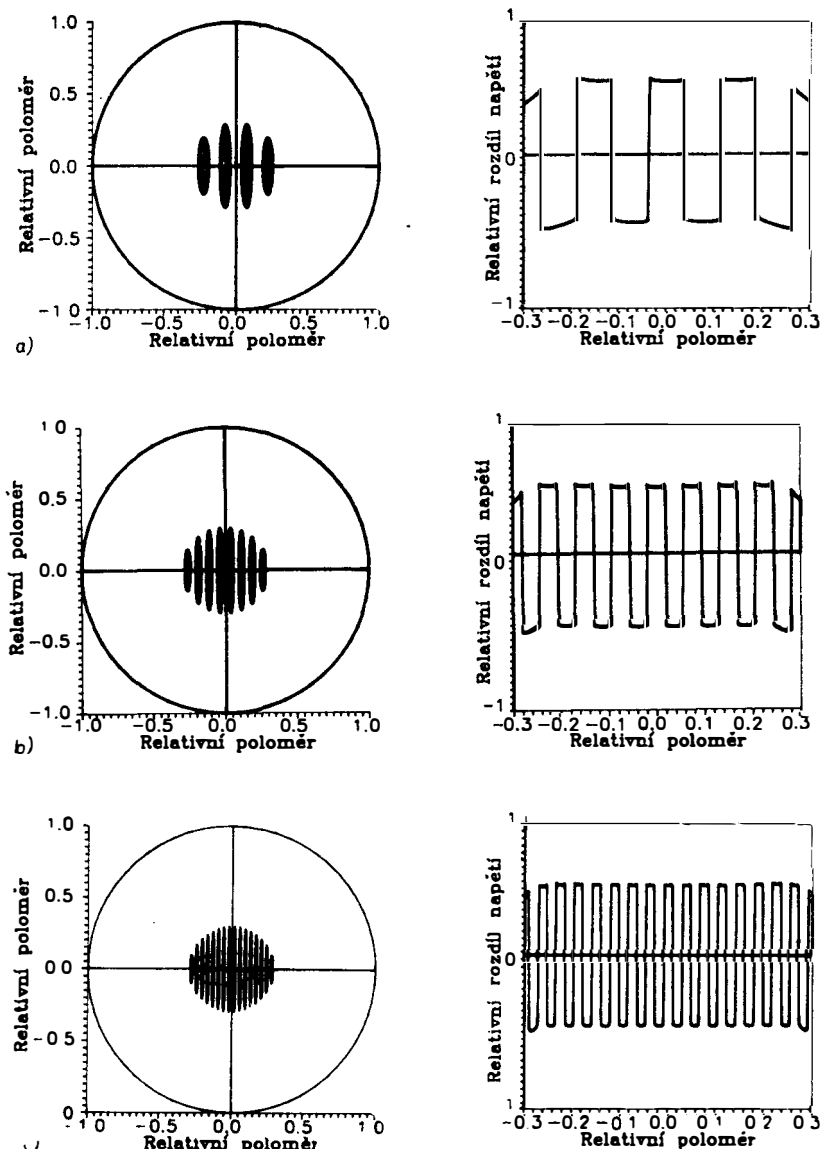
3.3. Jednopolarizační vlákna

Jednopolarizačními lze nazvat ta optická vlákna, která preferují šíření jedné polarizace. K tomuto účelu je možné použít klasická PJOV, zejména vlákna s tvarovým dvojlamem, u nichž zvolíme vhodnou pracovní vlnovou délku. Obvykle totiž platí, že uvedené struktury vykazují odlišný útlum a mezní vlnovou délku pro oba vlastní vidy, a proto lze nalézt oblast vlnových délek, kdy vlákno přenáší pouze jedinou polarizaci, ačkoliv i tento vedený vid je blízko své mezní vlnové délky a je veden pouze slabě. Značný pokrok by v oblasti jednopolarizačních optických vláken mohl být dosažen realizací vláken se strukturou velmi tenkých vrstev.

3.3.1. Vlákna s vrstvovou strukturou

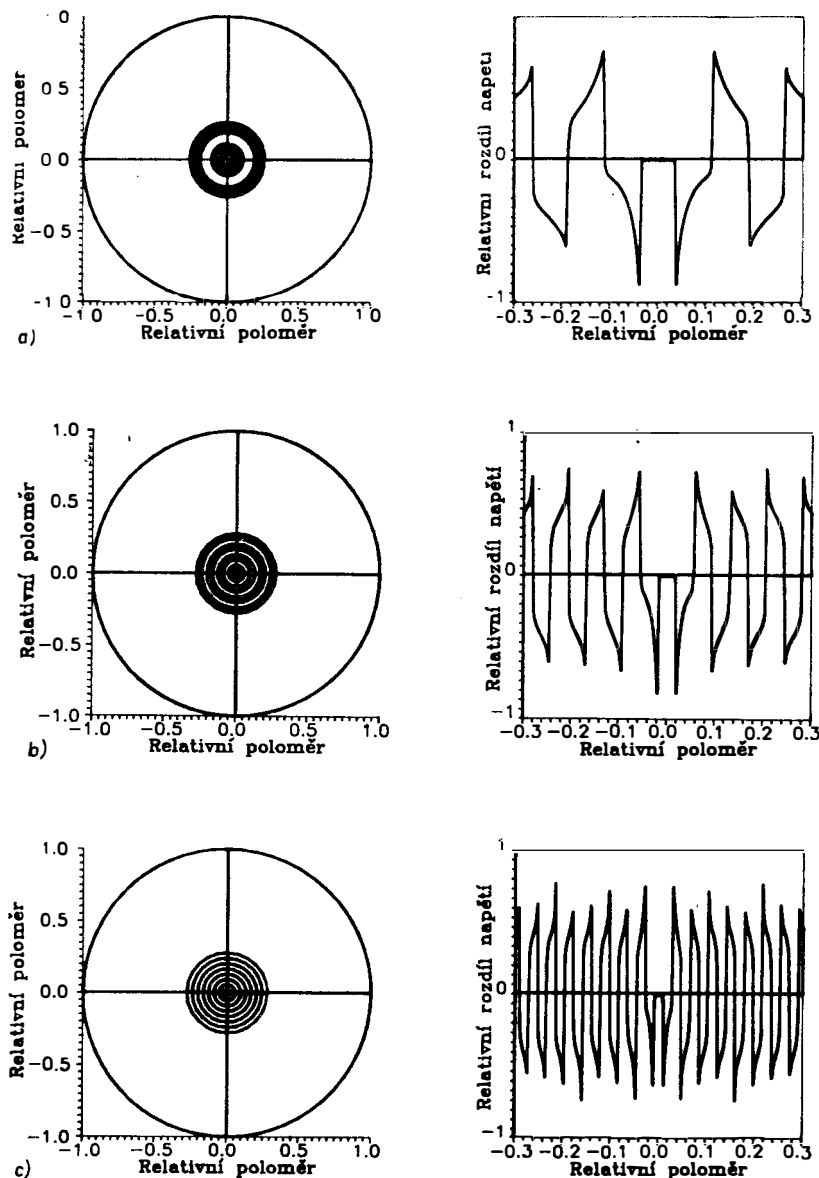
Jak bylo uvedeno v kapitole 2.5, v prostředích s periodickou změnou indexu lomu v příčném směru, s periodou menší, než je vlnová délka použitého záření, lze dosáhnout hodnot dvojlamu srovnatelných s rozdílem indexu lomu jádra a obalu, čímž dojde k tomu, že jeden vlastní vid je strukturou dobré veden, zatímco druhý je vyzářen ven z vlákna. Dochází k preferenci toho vlastního vidu vlákna, jehož elektrické pole má tvar shodný se strukturou vrstev indexu lomu. Tak lze, při lineárním uspořádání vrstev (obr. 8), dosáhnout lineární polarizace (preference vidu HE_{11}^y před videm HE_{11}^x). Při soustředném uspořádání vrstev podle obr. 9 dochází k zachování „kruhové“ polarizace, což znamená preferenci vidu TE_{01} před vidy TM_{01} , HE_{21} i před oběma základními vidy LP_{01} (HE_{11}^x a HE_{11}^y). Dostáváme opět jednopolarizační stav, přičemž rozdíly jádra vycházejí větší, než

v případě přenosu na základním vidu a polarizace je kruhově symetrická, což usnadňuje navazování vláken. Vztahy uvedené v kapitole 2.5 se týkají vnitřního tvarového dvojlonu. Na základě této teorie bylo navrženo několik typů struktur vhodných k praktické realizaci a pro tyto struktury byl na základě práce [38] proveden výpočet profilu relativního rozdílu napětí $\sigma_x - \sigma_y$ v příčném řezu jádrem (v ose x), pro různý počet vrstev. Na obr. 8 a obr. 9 jsou uvedeny výsledky pro dvě



Obr. 8. Struktury vláken a jejich profily relativního rozdílu napětí $\sigma_x - \sigma_y$.

základní struktury, při počtu vrstev 4, 8 a 16. Rozdíl koeficientů teplotní roztažnosti mezi oblastmi je skokový a je vyšší v černých oblastech. U každého profilu je plnou čarou vyznačena střední hodnota. Jak je vidět, tato střední hodnota jen mírně kolísá kolem nuly, a proto lze soudit, že napěťový dvojstrom bude proti celkovému zanedbatelný. V preformě a ve vlákně však budou existovat vysoké



Obr. 9. Struktury vláken a jejich profily relativního rozdílu napětí $\sigma_x - \sigma_y$.

gradienty lokálních napětí, které budou způsobovat křehkost preforem a pravděpodobně nižší mechanickou odolnost vláken.

Pro výrobu vláken s vrstvovou strukturou je možné použít upravenou technologii MCVD nebo raději PCVD (depozice z plazmy). Klasickou technologií MCVD je možné v preformě připravovat jednotlivé vrstvy o tloušťce průměrně 200 μm , což při obvyklém průměru preformy 10 mm po vytažení na vlákno o průměru 125 μm dává tloušťku vrstvy ve vlákně cca 2 μm . Tato hodnota není postačující. Technologie PCVD umožňuje, při depozici z plazmy, vytvářet vrstvy cca 10krát tenčí, tzn. 0,2 μm , což už by měla být pro vznik tohoto dvojlamu postačující hodnota. V každém případě je nutné přizpůsobit technologii tak, aby umožňovala regulaci a měření velmi malých průtoků plynů.

4. METODY MĚŘENÍ PJOV

4.1. Měření dvojlamu

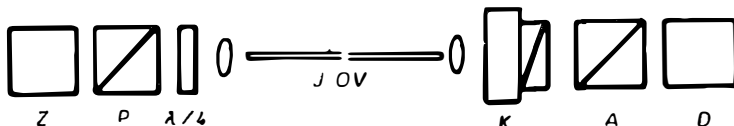
Pro měření dvojlamu v JOV byla navržena řada metod. Nejjednodušší metodou je pozorování záření Rayleighova rozptylu ve směru kolmém na osu vlákna [39]. Tato metoda využívá závislosti diferenciálního účinného průřezu Rayleighova rozptylu na polarizaci vedeného svazku. Intenzita rozptylovaného záření se podél vlákna mění s periodou rovnou polarizační záZNĚjové délce. Vzhledem k tomu, že intenzita rozptylu silně klesá s rostoucí vlnovou délkou, není možné tuto metodu použít pro měření na vlnových délkách větších než 800 nm.

Obdobou principu klasického polarizačního mikroskopu je kompenzační metoda měření fázového posuvu mezi rádnou a mimořádnou vlnou. Princip metody je znázorněn na obr. 10. Na vstup jednovidového vlákna je přivedeno lineárně polarizované záření, jehož rovina polarizace svírá s rychlou i pomalou optickou osou vlákna úhel 45°. Tímto způsobem se na začátku vlákna vybudí rádná i mimořádná vlna se stejnou intenzitou a fází. Druhý způsob, jak vybudit obě vlny, je přivést na vstup kruhově polarizované záření. Tento způsob buzení má tu výhodu, že není nutné hledat polohu hlavních os. Vláknenem způsobený fázový rozdíl je na výstupu kompenzován na celistvý násobek vlnové délky. Závislost míry kompenzace na délce měřeného vzorku je periodická s periodou rovnou polarizační záZNĚjové délce [40]. Nevýhodou kompenzační metody je její destruktivnost a časová náročnost měření, protože po každém zkrácení vlákna je nutné znova nastavit měřící aparaturu. Metoda je však jednoduchá a nenáročná na přístrojové vybavení, a proto je vhodná pro první orientační nebo srovnávací měření dvojlamu optických vláken se záZNĚjovou délkou v rozsahu 0,01 až 10 m.

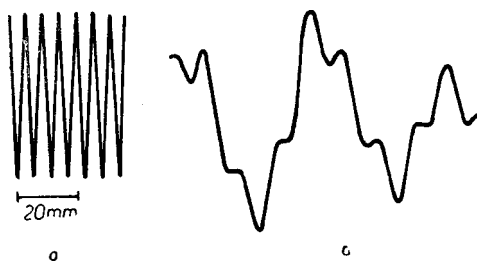
Pro praktická servisní měření vláken s vysokým dvojlamem se zdá vhodnější metoda modulace dvojlamu vnějším elektrickým nebo magnetickým polem [41]. Tato metoda umožňuje měření lokálního rozložení dvojlamu podél vlákna, avšak nedává informaci o střední hodnotě dvojlamu v dlouhém vlákně. Při aplikaci příčného elektrického pole je pro modulaci využíván Kerrův elektrooptický jev, při kterém je ve vlákně indukován lineární dvojlam, zatímco při modulaci podélným magnetickým polem se uplatňuje Faradayův jev, při němž je ve vlákně indukován kruhový dvojlam. Pro měření lineárního dvojlamu se obvykle používá modulace magnetickým polem a pro měření kruhového dvojlamu modulace elektrickým polem. V obou případech je nutné vybudit oba vlastní vidy se stejnou intenzitou a fází; proto se na vstup vlákna přivádí v prvním případě kruhová

polarizace a v druhém případě polarizace lineární. Potom nezáleží na orientaci vstupní polarizace vzhledem k optickým osám vlákna.

Uspořádání experimentálního zařízení, umožňujícího měřit lineární dvojlam pomocí modulace magnetickým polem, je stejně jako na obrázku 10. V těsné blízkosti vlákna je umístěn posuvný elektromagnet, který lokálně moduluje kruhový dvojlam v malé části vlákna ($\approx 1 \text{ mm}$). Záření vystupující z vlákna je po průchodu analyzátorem přivedeno na fotodetektor. Probíhá-li modulace v části vlákna, kde se šíří lineárně polarizované záření, je rovina polarizace periodicky stáčena a v detekovaném signálu je přítomna střídavá složka. V případě kruhové polarizace se tento efekt neprojeví, takže detekovaný signál je konstantní. Posouváním modulátoru podél vlákna je možné ze změn charakteru signálu zjistit vývoj polarizačního stavu záření podél měřeného vlákna. Vzhledem k malé hodnotě Verdetovy konstanty křemenného skla ($\approx 4,5 \cdot 10^{-6} \text{ rad A}^{-1}$, při vlnové délce $\lambda = 630 \text{ nm}$) a malé intenzitě modulujícího magnetického pole je nutné na výstupu používat synchronní zesilovač. Pokud bychom při měření lineárního dvojlamu použili modulace elektrickým polem, bylo by vyhodnocování experimentu složitější, protože by záleželo na vzájemné orientaci modulujícího a šířícího se pole. Tento způsob by však poskytoval informaci o azimutální orientaci pole v měřeném vlákně [8].



Obr. 10. Metoda měření polarizačních vlastností jednovidových optických vláken. Z — zdroj záření, P — polarizátor, $\lambda/4$ — čtvrtolnná destička, JOV — jednovidové optické vlákno, K — kompenzátor A — analyzátor, D — detektor.



Obr. 11. Záznam vývoje polarizačního stavu záření v optickém vlákně s eliptickým obalem; (11a) jednovidový režim; (11b) vicevidový režim provozu vlákna.

Na popsaném experimentálním zařízení bylo provedeno měření záznějových délek sérií JOV (zhotovitel ÚCHSKM ČSAV Praha) a několika PJOV. Metoda prokázala možnost měření záznějových délek v rozmezí 2 až 500 mm s velmi dobrou reproducovatelností. Na obr. 11a je záznam periodického vývoje polarizačního stavu záření ve vlákně s eliptickým obalem (zhotovitel IRE AN SSSR). Rozlišení metody je dáno rozměry modulované oblasti a přesnosti odečítání posuvu. Ukázalo se, že při použití zdroje s laditelnou vlnovou délkou lze touto metodou zjišťovat mezní vlnovou délku jednovidového stavu. Vícevidový režim se na záznamu vývoje polarizačního stavu záření projeví parazitními oscilacemi (obr. 11b).

4.2. Měření polarizační disperze

Polarizační disperzi je možné měřit různými způsoby. Jednoduchá a snadno realizovatelná je spektrálně polarizační metoda [9], využívající toho, že rozdíl fází mezi vlastními vidy JOV je přímo úměrný frekvenci. Při vybuzení obou vidů a plynulém ladění frekvence se objevují kvaziperiodické změny intenzity polarizovaného záření, detekované na výstupu vlákna po průchodu analyzátorem. Pro libovolnou kvaziperiodu $\delta\lambda = \lambda_{i+1} - \lambda_i$, která se rovná spektrálnímu intervalu mezi dvěma sousedními maximy nebo minimy intenzity, lze vyjádřit rozdíl fází vlastních vidů následovně:

$$|\delta\beta(\lambda_{i+1}) - \delta\beta(\lambda_i)| L_0 = 2\pi, \quad (63)$$

kde L_0 je délka optického vlákna. Aby bylo možné vyjádřit dvojstrom pomocí měřené veličiny $\delta\lambda(\lambda_i)$, je nutné chápout $\delta\beta(\lambda)$ jako po částech spojitou funkci, která je lineární na libovolné kvaziperiodě $\delta\lambda_i \ll \lambda_i$. Pak po úpravách dostáváme:

$$B - \lambda\delta B/\delta\lambda = \lambda^2/(\delta\lambda L_0) = c\delta\tau/L_0 = B_{sk}, \quad (64)$$

kde B_{sk} je skupinový dvojstrom, který je úměrný polarizační disperzi $\delta\tau$. Je vidět, že fázový dvojstrom B a skupinový dvojstrom B_{sk} se navzájem rovnají pouze v případě $\delta B/\delta\lambda = 0$. Rovnice (64) má vzhledem k B řešení:

$$B(\lambda) = B(\lambda_0) \lambda/\lambda_0 - \lambda \int_{\lambda_0}^{\lambda} dx/[L_0 \delta\lambda(x, L_0)], \quad (65)$$

kde $B(\lambda_0)$ je lineární dvojstrom při konstantní vlnové délce, změřený některou z metod uvedených v kapitole 4.1.

Je vidět, že spektrálně polarizační metoda poskytuje informaci nejen o polarizační disperzi, ale i o závislosti lincárního dvojstromu B na vlnové délce.

5. ZÁVĚR

Z provedeného přehledu polarizačních jednovidových optických vláken je zřejmé, že nelze vystačit pro všechny uvedené aplikace pouze s jedním typem polarizačního vlákna. Oblast jejich použití je natolik široká a různorodá, že jsou často požadována PJOV se zcela odlišnými charakteristikami. V praxi jsou aplikovány všechny tři základní kategorie polarizačních vláken, a to jak vlákna s minimálním či maximálním dvojstromem, tak i vlákna jednopolarizační. Z každé kategorie je možné doporučit konkrétní typ a technologii výroby vlákna, která se zdá nevhodnější k realizaci a aplikacím.

Vlákna s minimálním dvojstromem lze nejsnaději vyrábět z klasických jednovidových preform jejich rotací při procesu tažení.

Z vláken s maximálním lineárním dvojstromem se zdá účelné připomenout dva typy. Vlákno s eliptickým jádrem (s tvarovým lineárním dvojstromem), vyráběné kolapsem za sníženého tlaku, je vhodné pro svoji tepelnou stabilitu a možnost snadné výroby polarizačních děličů. Naproti tomu u vláken s eliptickým obalem (s materiálovým lineárním dvojstromem) lze dosáhnout nejnižší hodnoty útlumu a parametru h . Technologicky vhodným řešením se jeví struktura, kdy je vyrobena koncentrická preforma, jejíž napěťová vrstva je připravena z vícesložkového skla tak, aby měla vyšší koeficient teplotní roztažnosti, ale nižší index lomu než jádro.

Poloměr této vrstvy by měl být dvoj- až trojnásobný oproti jádru. Napěťová vrstva by též měla mít nižší teplotu měknutí než jádro, aby při procesu tažení nedošlo k jeho deformaci a jádro zůstalo kruhové. Do takto vytvořené preformy by se na protilehlých stranách buďto vybrousily drážky tvaru U do hloubky rovnající se dvojnásobku poloměru obalu, nebo by se na preformu přitavily dvě křemenné tyčky. Po vyleštění obroušených ploch plamenem by následovalo tažení, během něhož by se vlákno (při vhodné teplotě a rychlosti tažení) opět zakulatilo, přičemž napěťová vrstva by měla vysoce eliptický tvar, avšak ani svou delší poloosou by nezasahovala přes polovinu poloměru vlákna. Tímto způsobem bylo možné dosáhnout vysokého dvojlomu při dostatečné mechanické pevnosti vlákna.

Pro výrobu vláken s maximálním kruhovým dvojlomem je nutné instalovat podavač preformy, umožňující rotaci rychlostí 1000—2000 ot/min. Jako nevhodnější se jeví struktury s víceprvkovým jádrem, neboť na nich lze dosáhnout vysokých hodnot kruhového dvojlomu při zachování standardních rozdílů vlákna.

Z jednopolarizačních vláken je možné jmenovat vlákno s eliptickým profilem W vyrobené kolapsem za sníženého tlaku a celou skupinu vrstvových vláken, u kterých teorie předpovídá velmi vysoké hodnoty dvojlomu.

Pro měření základních vlastností PJOV je třeba vybudovat spektrálně polarizační metodu (založenou na zdroji záření s laditelnou vlnovou délkou — např. monochromátor), která se doplní o modulátory elektrickým a magnetickým polem.

Polarizační jednovidová optická vlákna jsou oblastí vláknové optiky, která se v současnosti značně rozvíjí, přičemž se objevují stále nové oblasti možných aplikací.

Literatura

- [1] J. Noda, K. Okamoto, Y. Sasaki: *J. Light. Techn.* **4**, 1071 (1986).
- [2] L. B. Jeunhomme: *Single-mode fiber optic*, series Optical engineering. Marcel Dekker, New York 1983.
- [3] S. C. Rashleigh: *J. Light. Technol.*, **1**, 312 (1983).
- [4] D. W. Stowe, D. R. Moore, D. R. Priest: *IEEE J. Quant. Electr.* **18**, 1644 (1982).
- [5] J. Doušovec: *Čs. čas. fyz.* **A38**, 532 (1988).
- [6] N. Shibata, M. Tateda, S. Seikai, N. Uchida: *Elect. Lett.* **17**, 564 (1981).
- [7] Y. Sasaki: *J. Lightwave Technol.* **5**, 1139 (1987).
- [8] I. Paulíčka, V. Sochor: *Čs. čas. fyz.* **A38**, 501 (1988).
- [9] A. B. Grudinin, G. L. Djankov, V. B. Neustruev: *Kvantov. elektronika* **13**, 2310 (1986).
- [10] D. Marcuse: *Theory of Dielectric Optical Waveguides*, Academic Press, New York 1974.
- [11] V. Sochor: *Optické, elektrodynamické a nelineární vlastnosti optických vláken*. ACADEMIA, Praha 1986.
- [12] Y. Ohtsuka, T. Ando, Y. Imai, M. Imai: *J. Light. Techn.* **5**, 602 (1987).
- [13] A. N. Matvějev: *Optics*, Mir Publishers, Moskva 1988.
- [14] J. Quian, C. D. Hussey: *Electr. Lett.* **22**, 515 (1986).
- [15] I. M. Bassett: *Optics Lett.* **13**, 844 (1988).
- [16] J. Sakai, T. Kimura: *IEEE J. Quant. Electr.* **17**, 1041 (1981).
- [17] Y. Fujii: *Appl. Optics* **25**, 1061 (1986).
- [18] D. N. Payne, A. J. Barlow, J. R. Hansen: *J. Quant. Electr.* **18**, 477 (1982).
- [19] P. E. Sanders, A. S. Kuzma, D. R. Maack, M. S. Maklač: *SPIE*, **566**, Fib. opt. and laser sensors III 400 (1985).
- [20] J. Doušovec, R. Brunner, M. Berta in: *Proc. of 8-th ISCO*, s. 154. Jánská dolina 1987.
- [21] F. P. Payne, D. N. Payne: *ECOC 1986*, s. 239 Barcelona.
- [22] R. Calvani, R. Caponi, G. Coppa: *Electr. Lett.* **22**, 1254 (1986).
- [23] R. J. Charles: *J. Appl. Phys.* **29** 1554 (1958).
- [24] R. A. Sammut, P. L. Chu: *J. Light. Techn.*, **3**, 283 (1985).
- [25] V. Bernát, V. Sochor in: *Proc. of 8-th ISCO* s. 288 Jánská dolina 1987.
- [26] S. R. Noiman, D. N. Payne, M. J. Adams, A. M. Smith: *Electr. Lett.* **15** 309 (1979).

- [27] T. Katsuyama, H. Matsumura, T. Saganuma: *J. Light. Techn.* **2**, 634 (1984).
- [28] R. B. Dyott, J. R. Cozens, D. G. Morris: *Electron. Lett.* **15** 380 (1979).
- [29] T. Katsuyama, H. Matsumura, T. Saganuma: *Elect. Lett.* **17**, 473 (1981).
- [30] T. Hosaka & col.: *Elect. Lett.* **17**, 530 (1981).
- [31] R. D. Birch, D. N. Payne, M. P. Varnham: *Elect. Lett.* **18**, 1036 (1982).
- [32] L. Luksun, R. D. Birch, D. N. Payne: *ECOC 1986*, s. 137, Barcelona.
- [33] „Fiber optics trends.“, *Photonic spectra* s. 89 january 88
- [34] R. D. Birch: *Elect. Lett.* **23**, 50 (1987).
- [35] J. D. Love, A. W. Snyder: *Elect. Lett.* **23** 1109 (1987).
- [36] M. P. Varnham, R. D. Birch, D. N. Payne, J. D. Love: *Proceedings of OFC* s. 68, Atlanta, USA 1986.
- [37] D. N. Payne & col.: *Fiber-optic rotation sensors and rotated technologies*, s. 185 Springer series in optical sciences, Vol. 32.
- [38] T. Mai: Polarizační vlastnosti optic. vláken, dipl. práce, ČVUT — FJFI, kat. fyzik. elektrotechniky, 1988.
- [39] I. P. Kaminow: *IEEE J. Quant. Electr.* **17**, 15 (1981).
- [40] A. N. Gurjanov, D. D. Gusovskij, E. M. Dianov: *Kvantovaja elektronika* **8**, 2473 (1981).
- [41] A. Simon, R. Ulrich: *Appl. Phys. Lett.* **31**, 517 (1977).